

Rotation Curve of M33 Explained by Dark Matter Disc

もしくは

ピザの 回転曲線

福島登志夫(国立天文台)

(2016) MNRAS, 456, 3702

[ResearchGate Fukushima](#) 検索

Xvrot: Fortran 90 ソフトウェア



天空のピザ

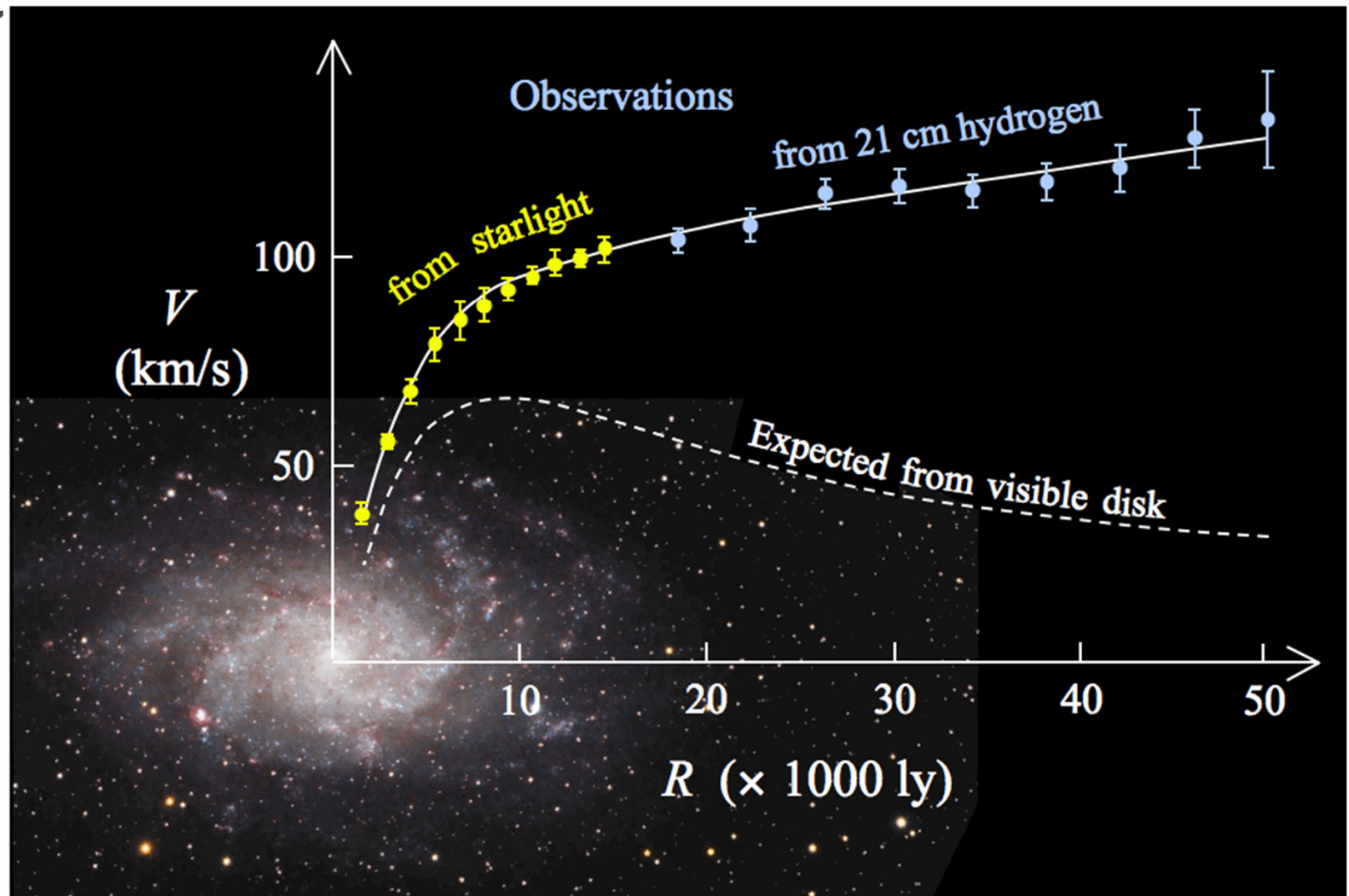
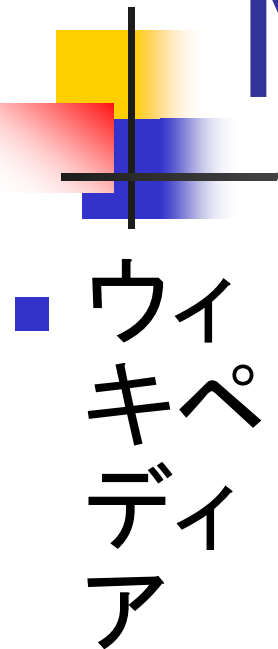




渦巻銀河 M33

- 別名：さんかく座銀河 = NGC598
 - 局部銀河群で3番目に大きい銀河
 - アンドロメダ銀河M31の伴銀河？
 - 半径：10 kpc
 - 質量：[6(星)+3(ガス)] x 10^9 太陽質量
 - 中心核・バルジが見えない
 - 右肩上がり?の回転曲線

M33の回転曲線



デカルトの 方法的懐疑

デカルトの 方法的懐疑



- 方法序説 (Descarte 1637)
- 懐疑の4段階方法論
 - 1. 真実と自ら思う事柄のみ認めよ
 - 2. 分割して検討せよ
 - 3. 単純な疑問より始めよ
 - 4. 最後は列挙と再検討



応用：銀河の回転曲線

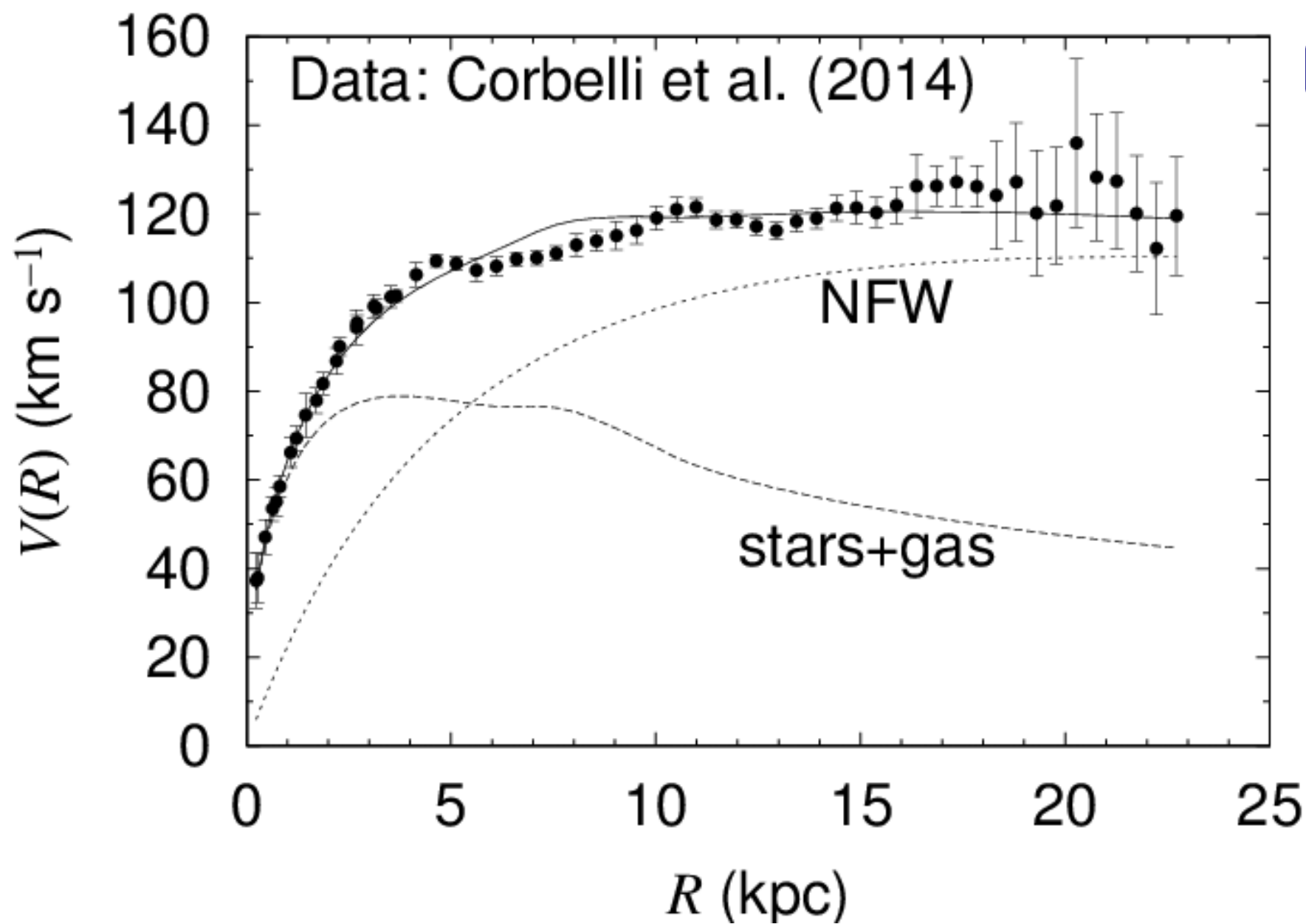
- 1. 真実と自ら思う事柄のみ認めよ
- 回転曲線そのもの、光度分布
 - 2. 分割して検討せよ
- 内側および外側の回転曲線の様子
 - 3. 単純な疑問より始めよ
- 軸対称円盤モデル
 - 4. 最後は列挙と再検討
- 非軸対称性、円盤の厚み、...



標準的手法

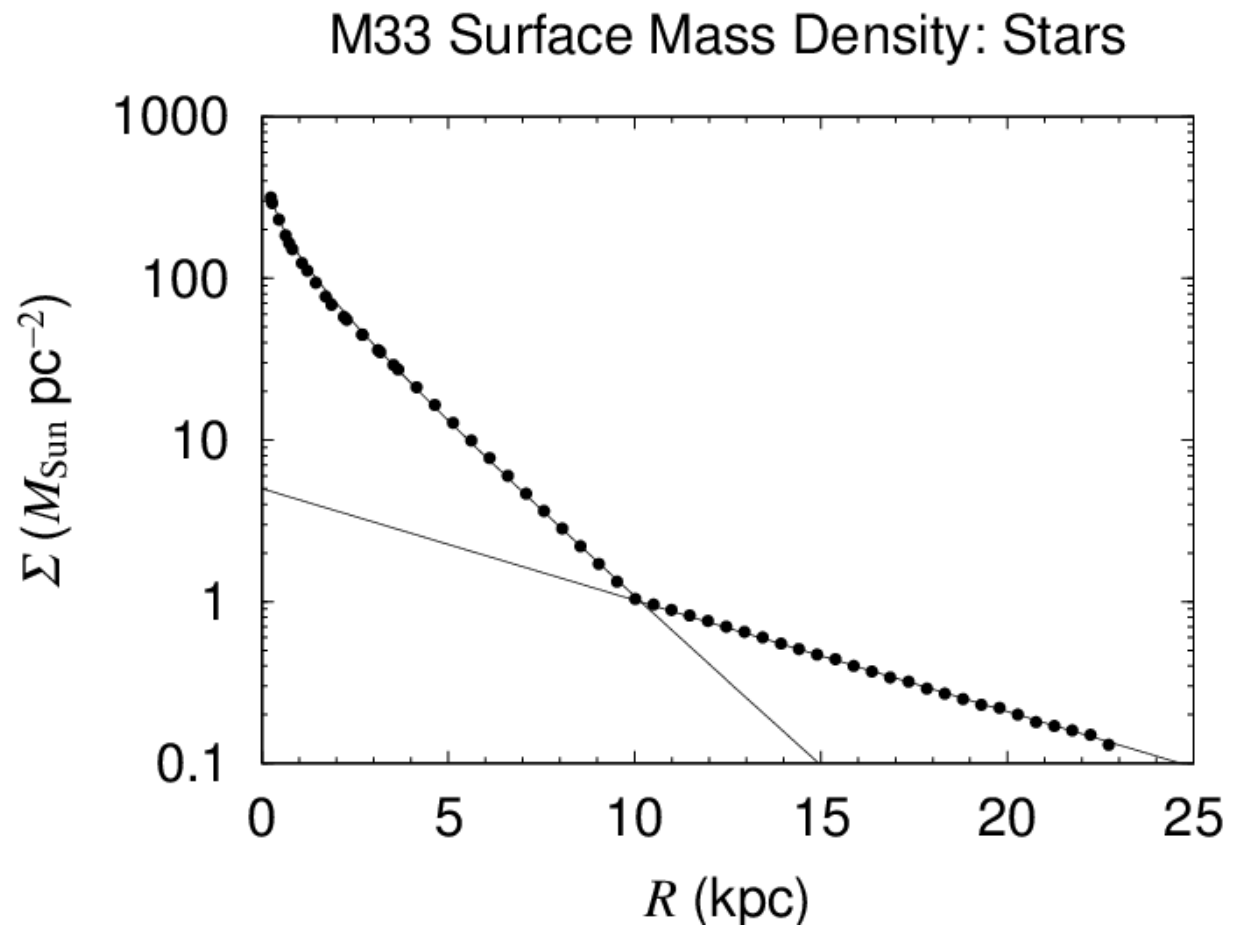
- 分解(deconvolution)法
 - M33: Corbelli et al. (2014)
 - 天の川銀河: Sofue (2015)
- 1. 星とガスの回転曲線への寄与を計算
- 2. 観測された回転曲線から差し引く
- 3. 残差に球対称ダークマターをあてはめ
 - 分布モデル Navarro, Frenk, & White (NFW) (1996)

Rotation Curve of M33



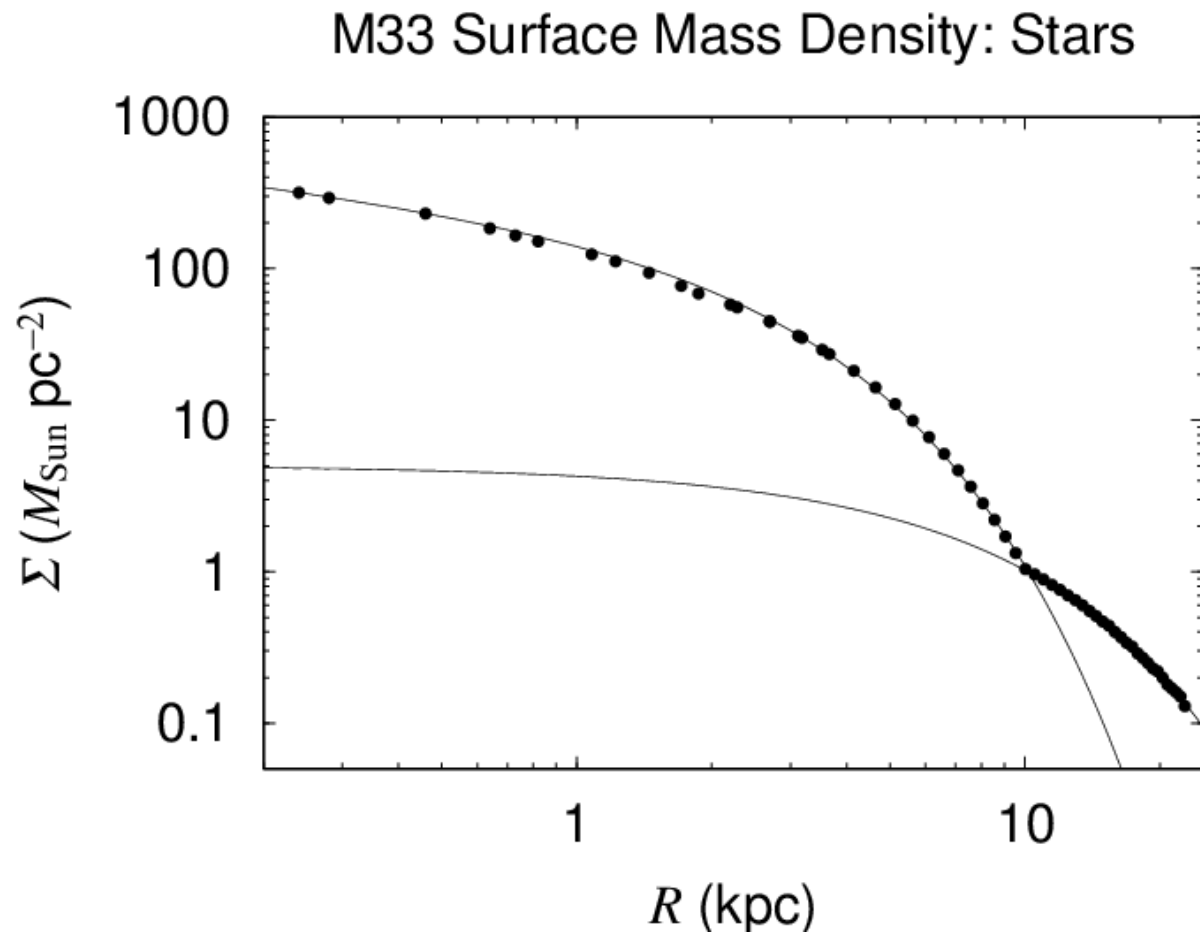
M33の恒星円盤

- 2部分
- べき×
指数関
数
- 指数関
数



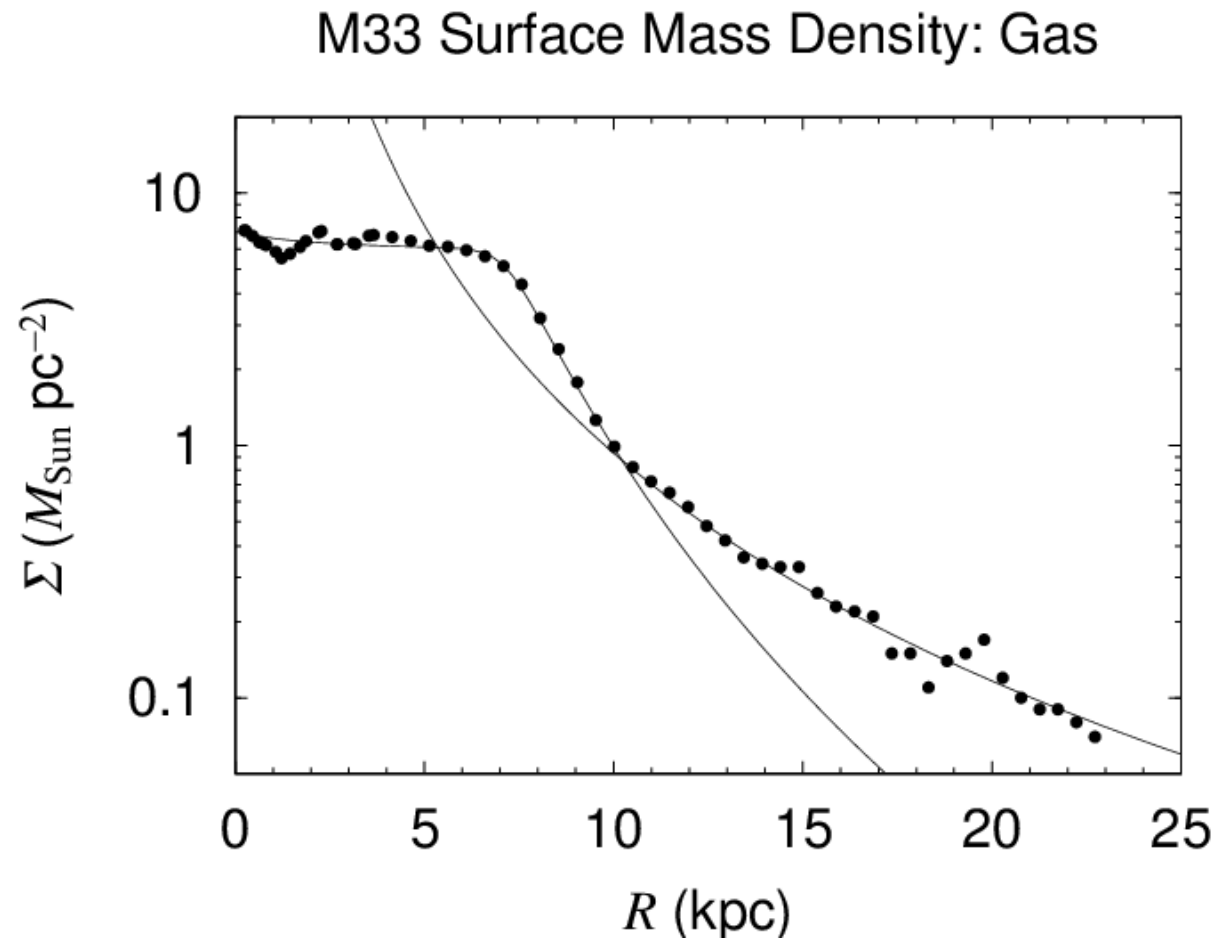
M33の恒星円盤（続）

■ 両対数 グラフ



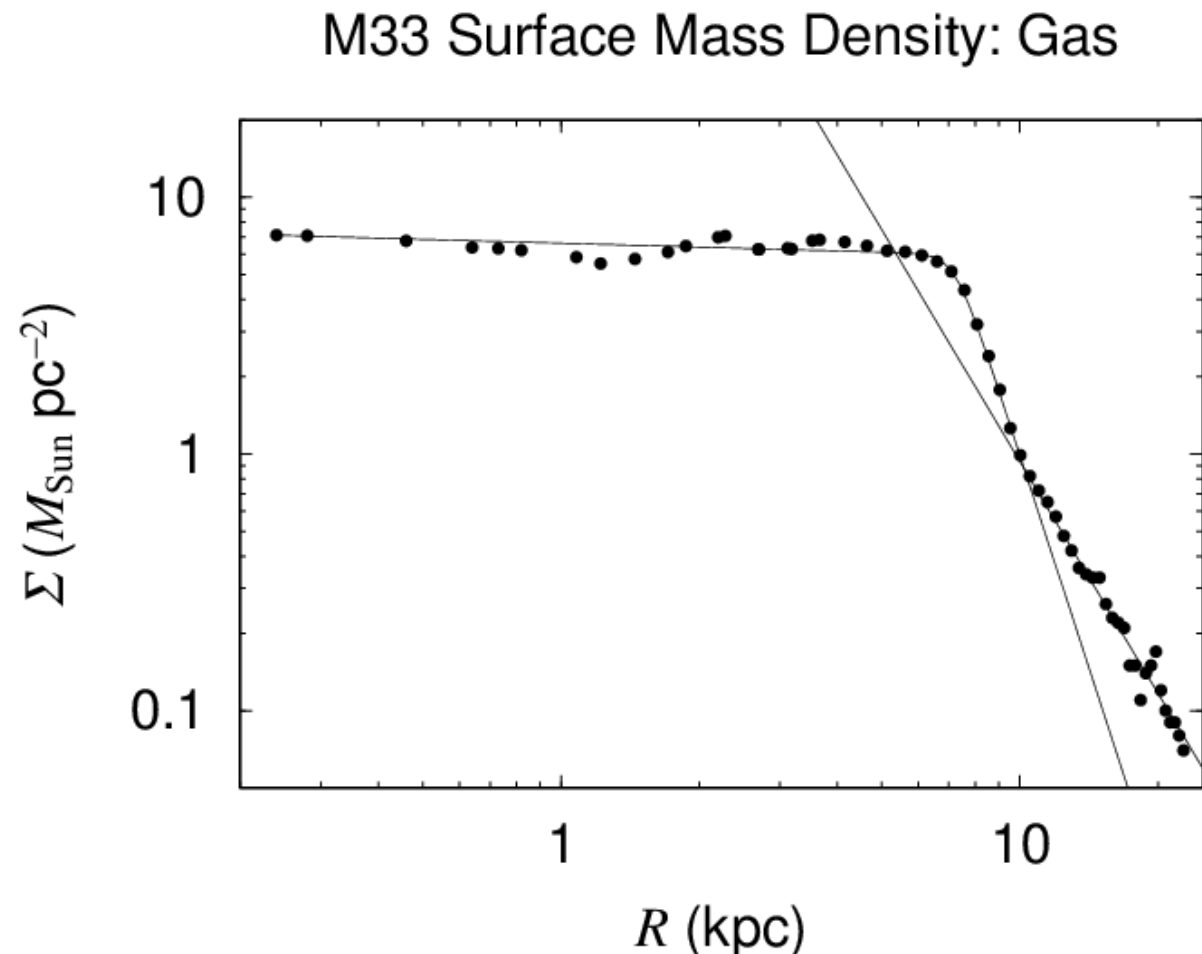
M33のガス円盤

- 2部分
- 双べき乗則
- 単べき乗則



M33のガス円盤(続)

■ 両対数 グラフ





区分的密度分布

- 既存の手法は適用不可
 - (無限に広がった) 指数関数円盤
 - (無限に広がった) べき乗則円盤
- 任意密度分布の重力場計算の必要性
 - 任意の大きさや形状 (有限、中心穴の有無)
 - 任意の密度分布関数形 (双べき乗則など)
 - 任意地点での評価

フォースは常に
君と共にある、
ポテンシャルよ



重力場の新しい計算法

- 仮定

- 軸対称、無限に薄い、区分的密度分布関数

- 手法

- ポテンシャル：環ポテンシャルの数値積分
- 加速度ベクトル：ポテンシャルの数値微分

- ポテンシャルの線積分表現

$$\Phi(R, z) = \sum_{j=1}^J \Phi_j(R, z)$$

$$\Phi_j(R, z) = \int_{R_{j-1}}^{R_j} \Psi(R'; R, z) dR'$$



被積分関数の表現

- 環ポテンシャル (Kellogg 1929)

$$\Psi(R'; R, z) = \frac{-4G\Sigma(R') K(m(R'; R, z)) R'}{P(R'; R, z)}$$

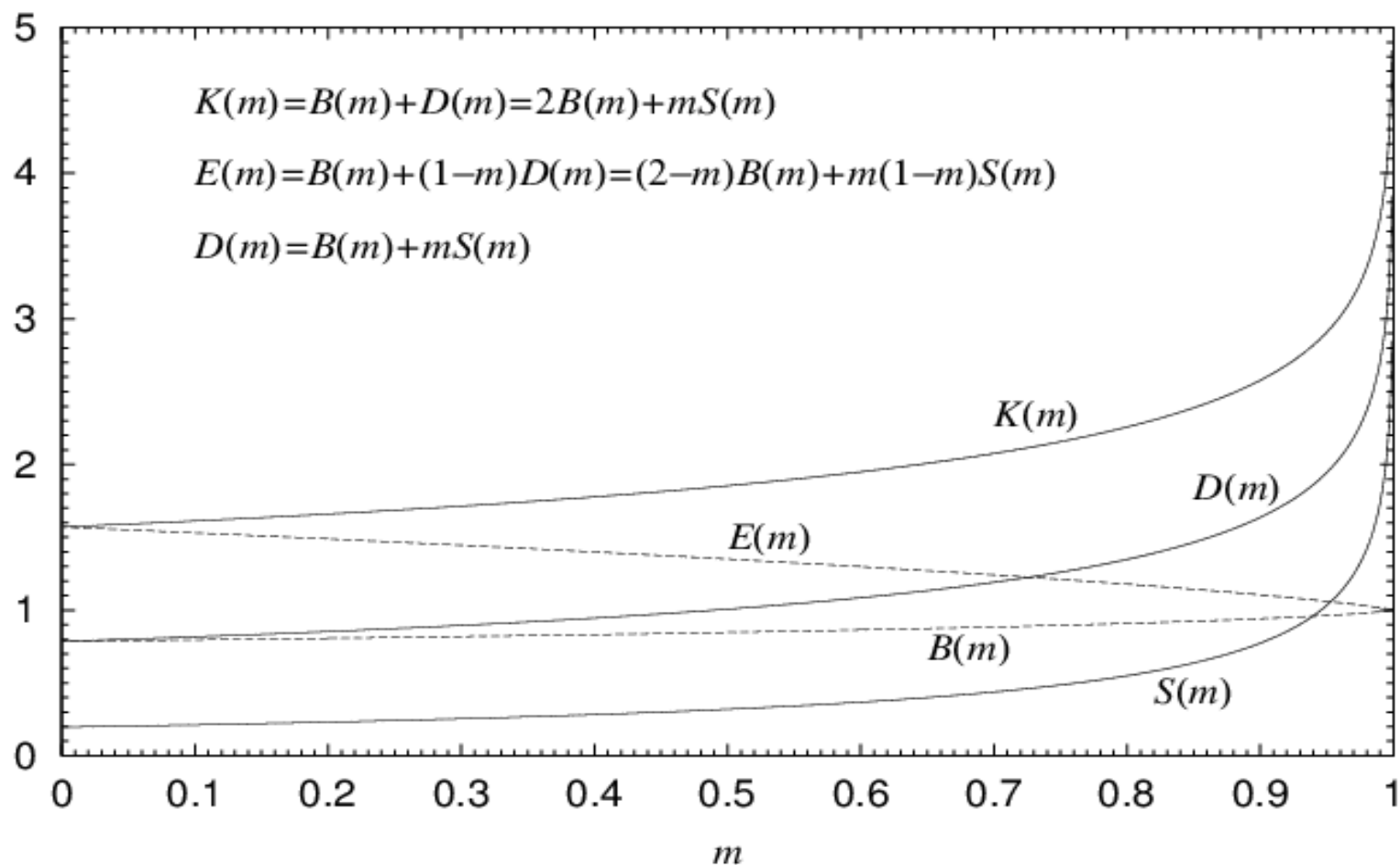
$$m(R'; R, z) \equiv \frac{4RR'}{[P(R'; R, z)]^2}$$

$$P(R'; R, z) \equiv \sqrt{(R' + R)^2 + z^2}$$

- $K(m)$: 第一種完全楕円積分
 - Fukushima (2015): 高速高精度計算法

完全楕円積分

Five Complete Elliptic Integrals





特異点問題

- 爆発型対数的特異点 $K(m)$: $m=1$
- 原理的(=解析的)には積分可能
- 数値的には非常に困難
- 特異点のありか($m=1$)
 - $R=R'$ および $z=0$ (=円盤内のどこか)
- 近傍($m \sim 1$)でも問題
 - 被積分関数に鋭いピーク

分割して
統治せよ



分割積分法

- 積分区間を特異点・ピークで分けるだけ

$$\Phi_j(R, z) = \int_{R_{j-1}}^R \Psi(R'; R, z) dR' + \int_R^{R_j} \Psi(R'; R, z) dR'$$

- 二重指数関数積分公式
 - Takahashi & Mori (1973)
 - 計算プログラム: intde、intdei (大浦 2006)
- 簡単だが、よく効く
 - Fukushima (2014)



加速度ベクトル

■ 定義

$$\mathbf{A} = A_R \mathbf{e}_R + A_z \mathbf{e}_z$$

$$A_R \equiv -\left(\frac{\partial \Phi(R, z)}{\partial R}\right), A_z \equiv -\left(\frac{\partial \Phi(R, z)}{\partial z}\right)$$

■ 数値微分

- 原始的だが効果的
- 計算コストが少し増加、計算精度が少し減少

■ Ridderの方法 (Ridder 1982)

- 計算プログラム: dfridr (Numerical Recipe in F77)



数値計算ツール

- 第一種完全楕円積分 $K(m)$: **ceik**
 - Fukushima (2015)
 - https://www.researchgate.net/profile/Toshio_Fukushima/
- 二重指数関数型数値積分 **intde**
 - 大浦 (2006)
 - <http://www.kurims.kyoto-u.ac.jp/ooura/intde.html>
- 数値微分: **dfridr**
 - Press et al. (1992, Sect. 5.7)
 - <http://apps.nrbook.com/fortran/index.html>

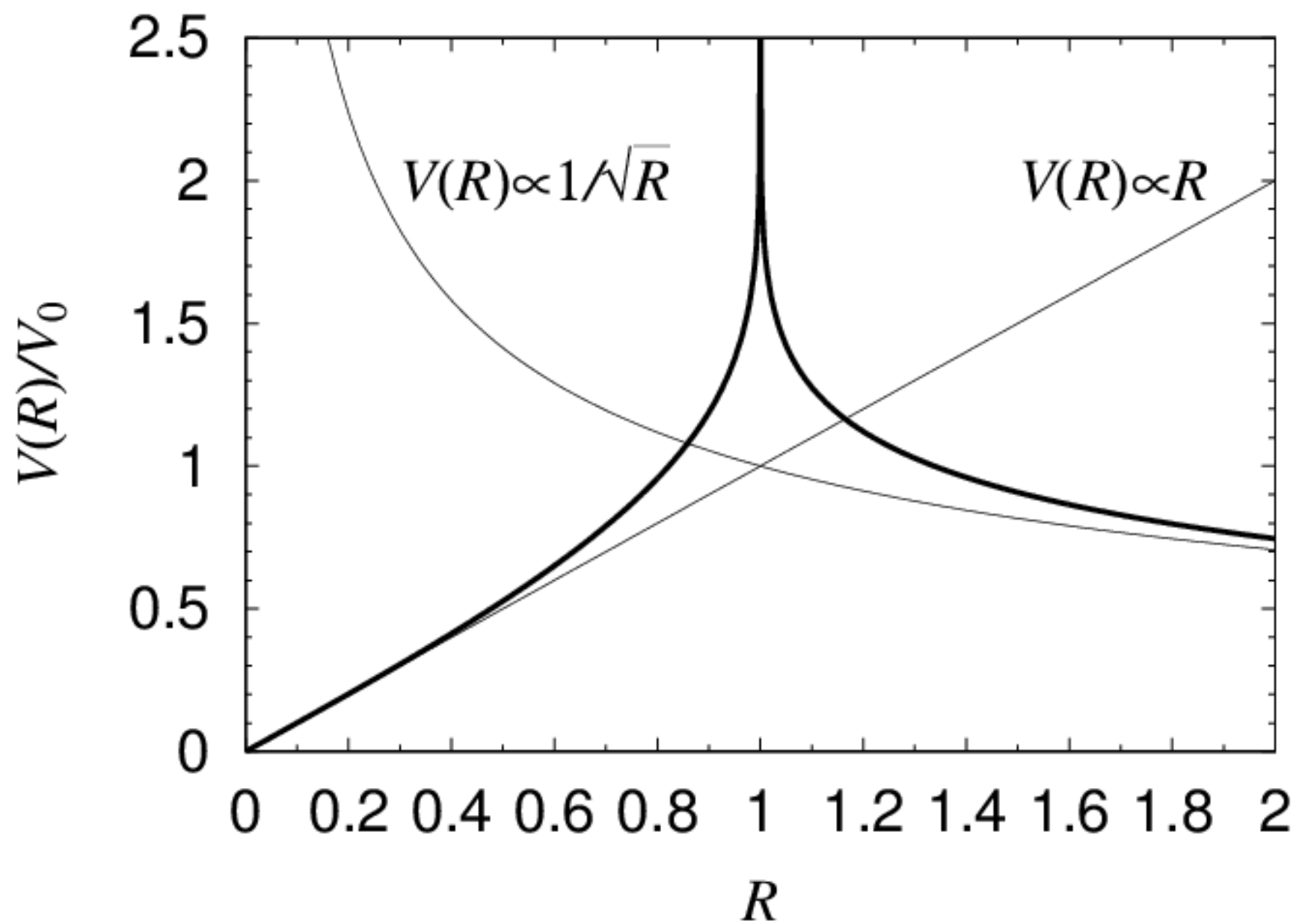
念には
念を入れよ



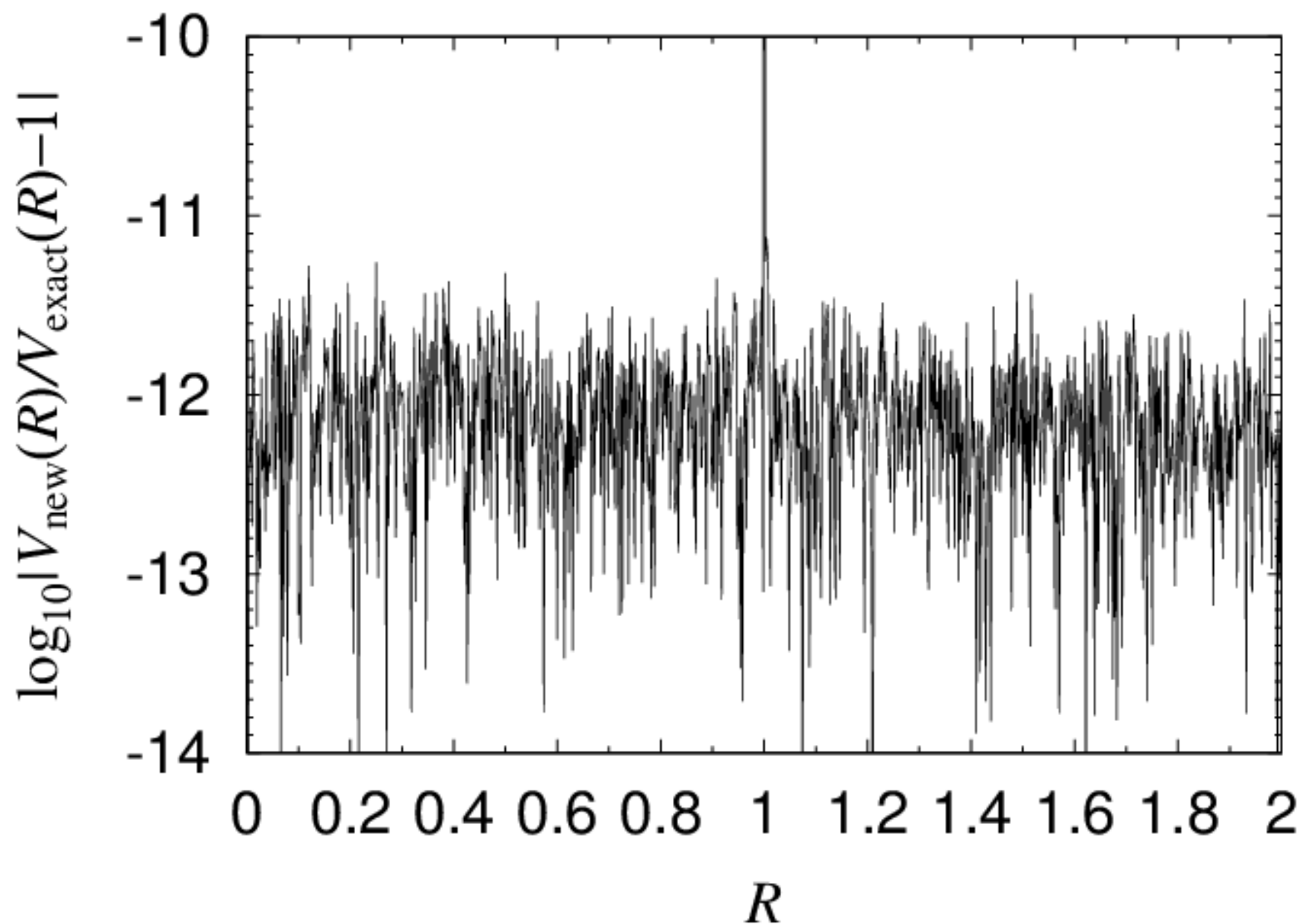
検証

- その1: 有限均質円盤
 - Durand (1953), Fukushima (2010)
 - 解析解: 全三種の完全楕円積分を駆使
- その2: (無限に広がった) 指数関数円盤
 - Freeman (1970)
 - 解析解: 変形ベッセル関数の交差積
- 検証法: 回転曲線の比較
- 11-12桁の計算精度を確認

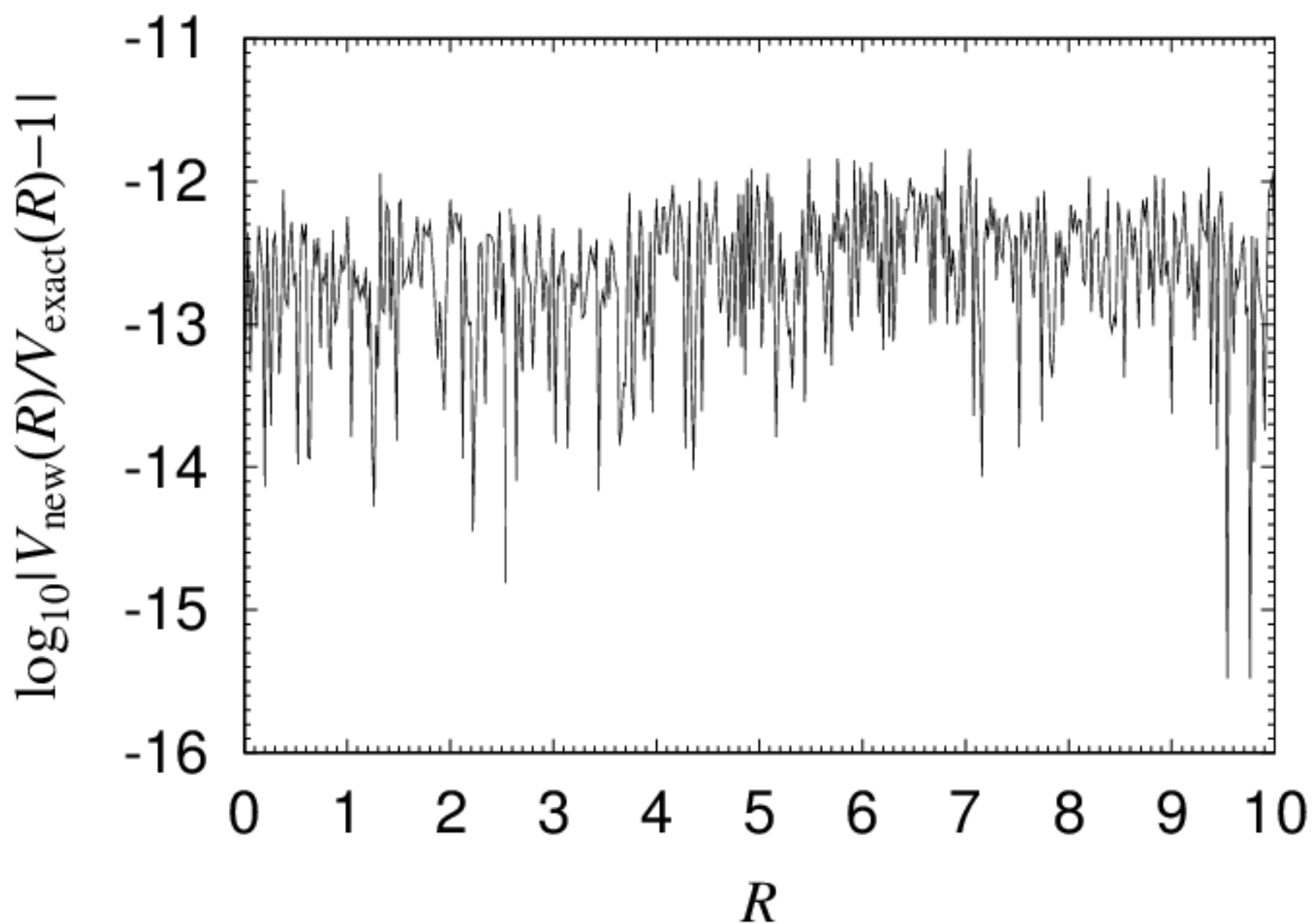
Rotation Curve: Finite Uniform Disc



Rotation Curve Error: Finite Uniform Disc

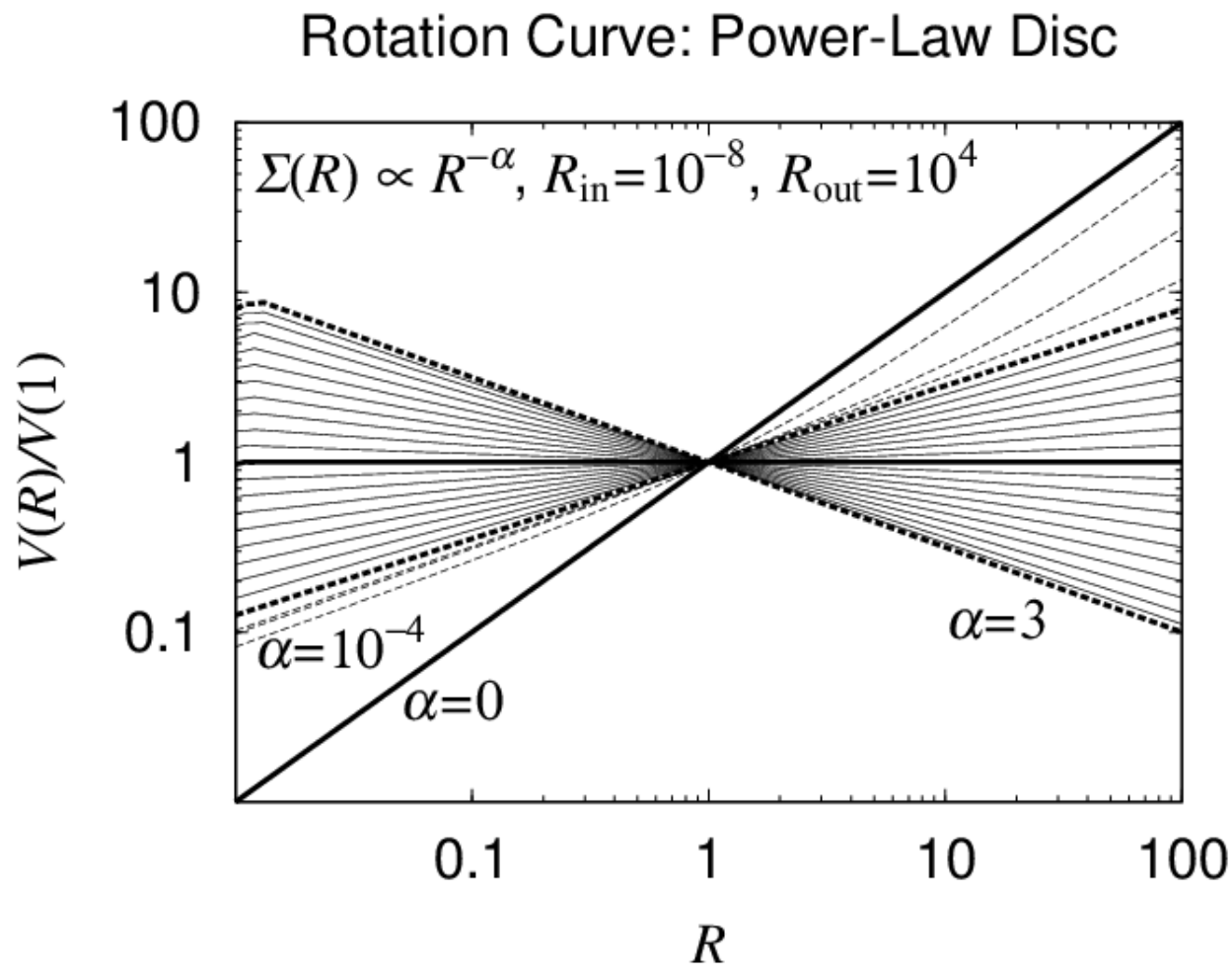


Rotation Curve Error: Exponential Disc



お楽しみは
これからだ

その1: 有限べき乗円盤

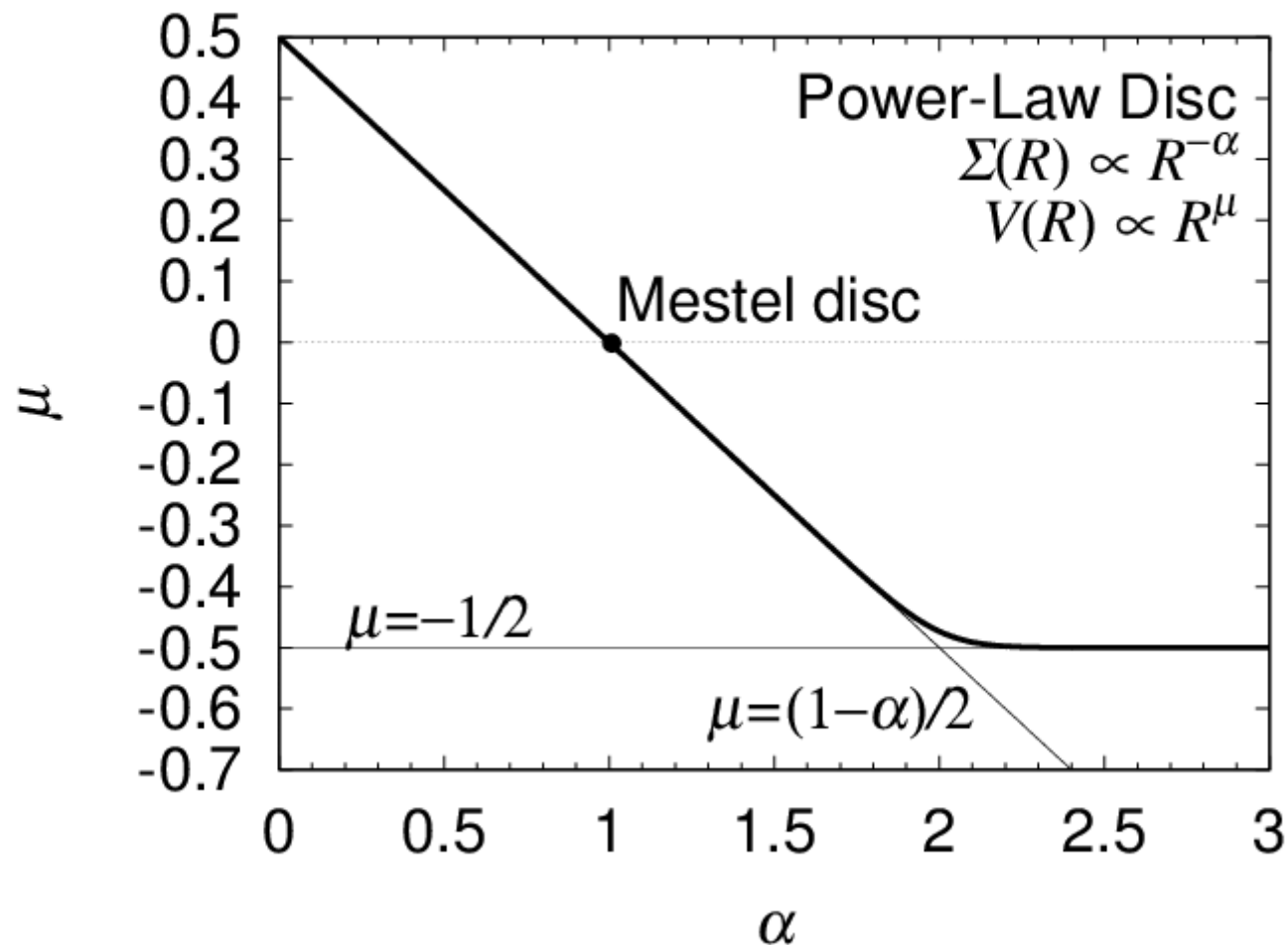


- べき乗則密度分布なら
回転曲線は
ほぼべき乗

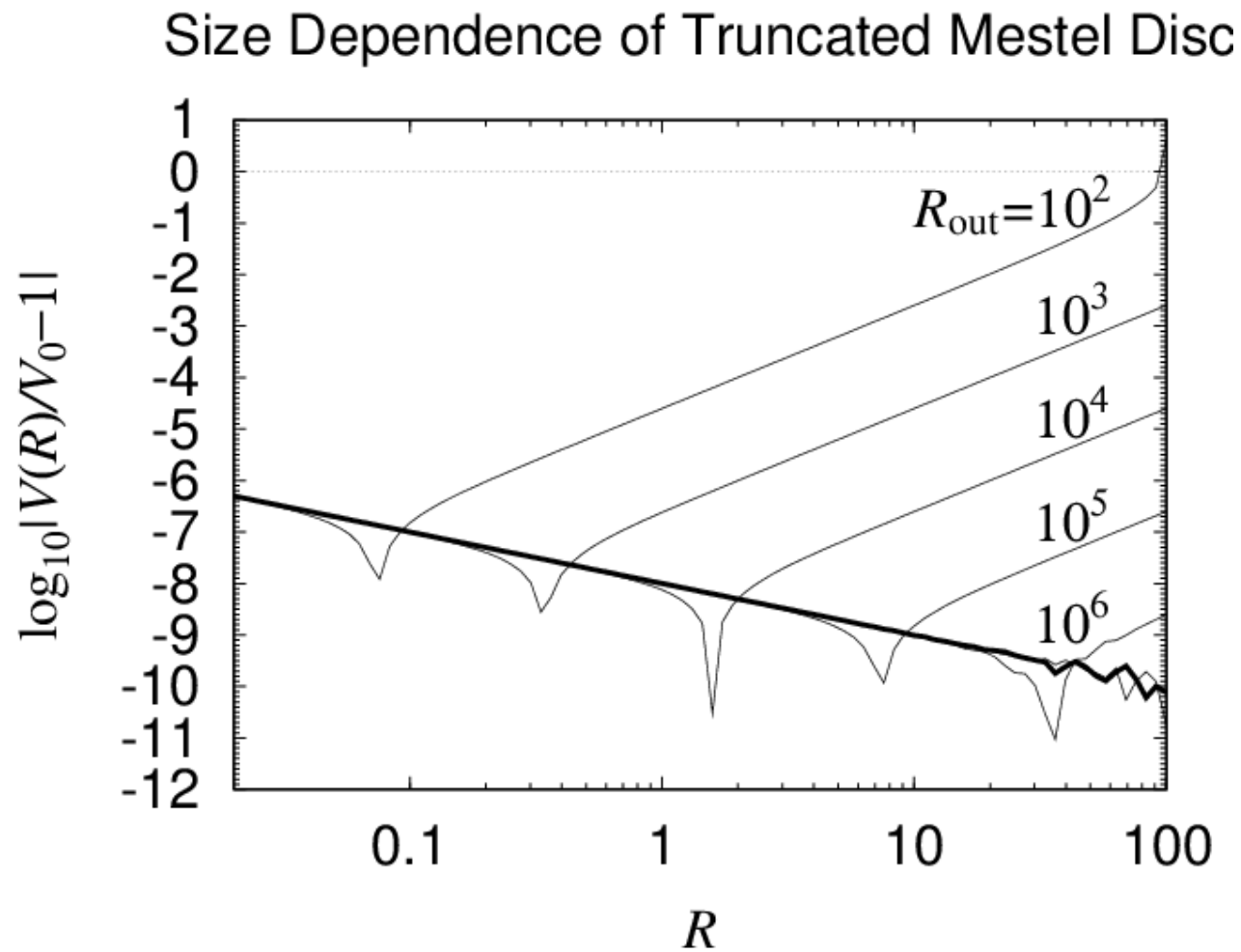


べき指数関係

Power-Law Exponent of Rotation Curve



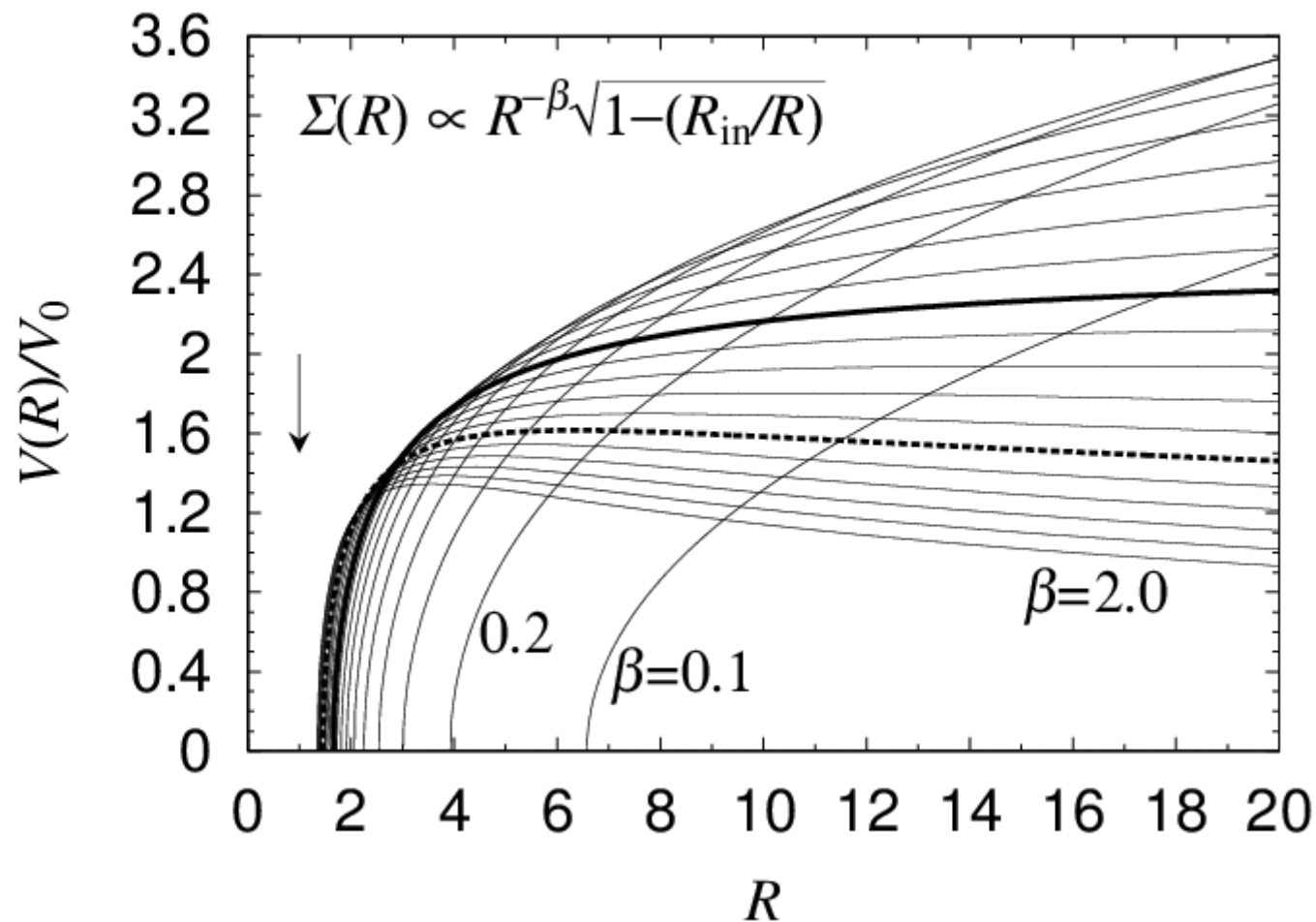
近似的一致





中心穴の効果

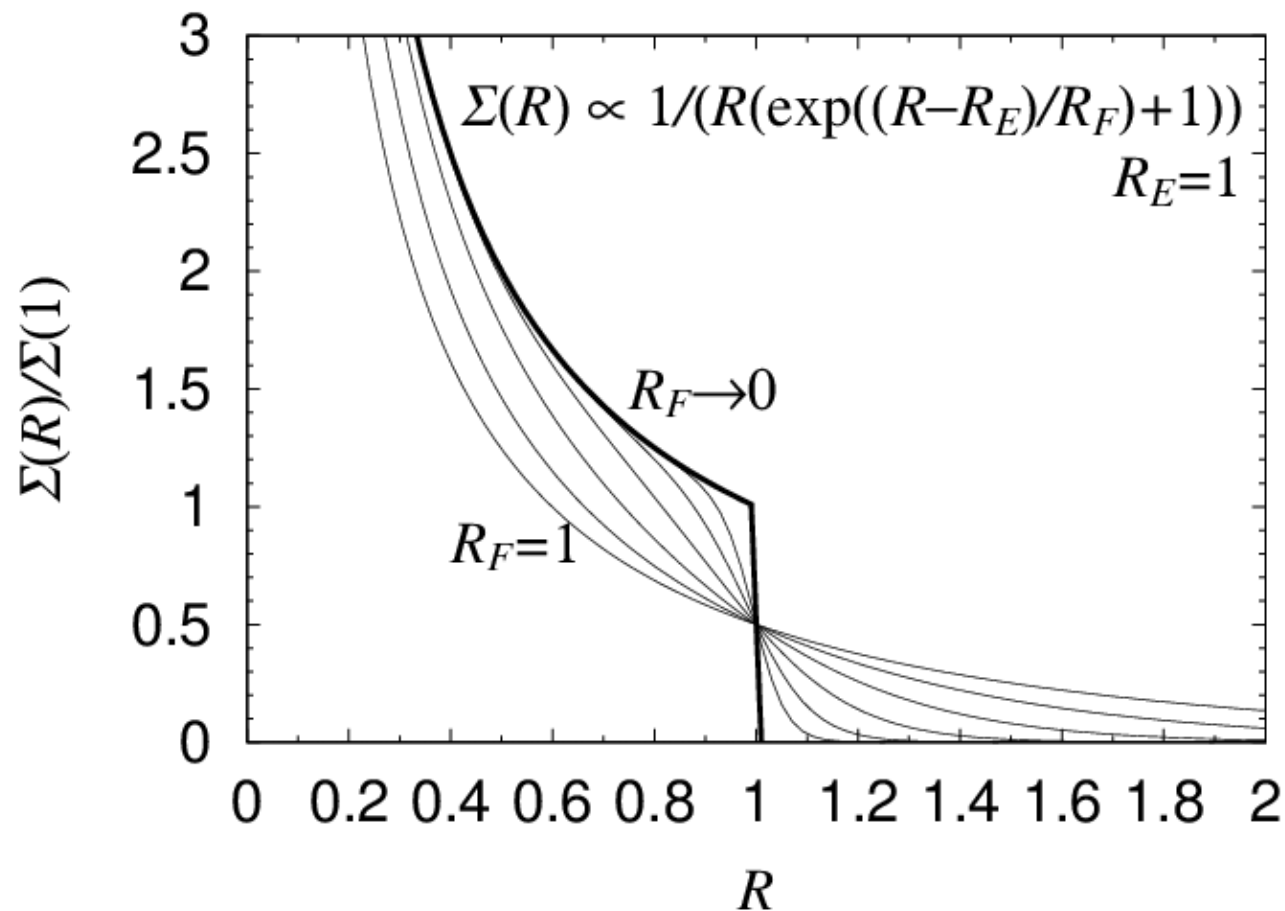
Hole Effect in Accretion Disc





円盤縁のソフトニング

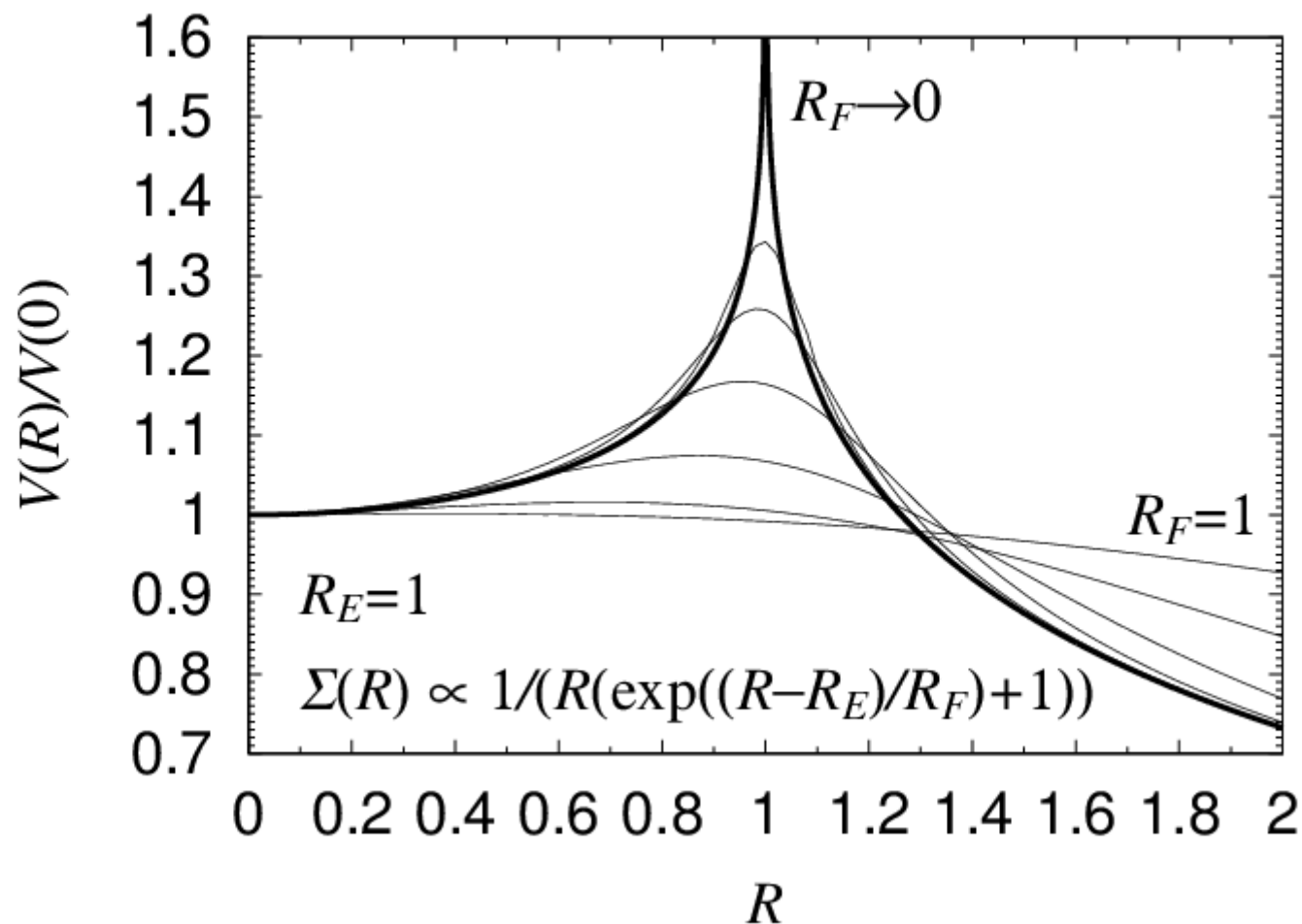
Edge-Softening of Truncated Mestel Disc





縁ソフトニングの効果

Edge-Softening Effect

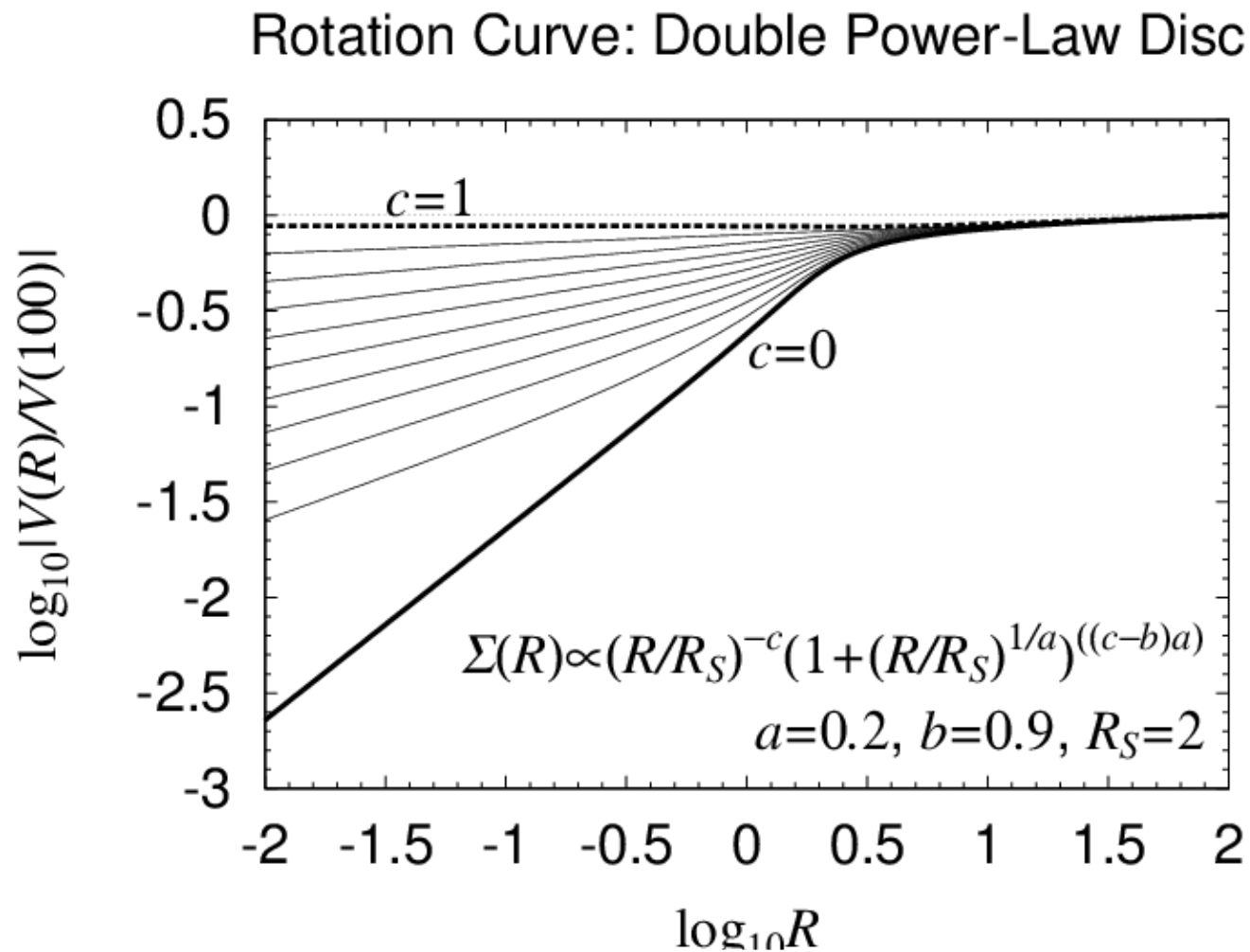




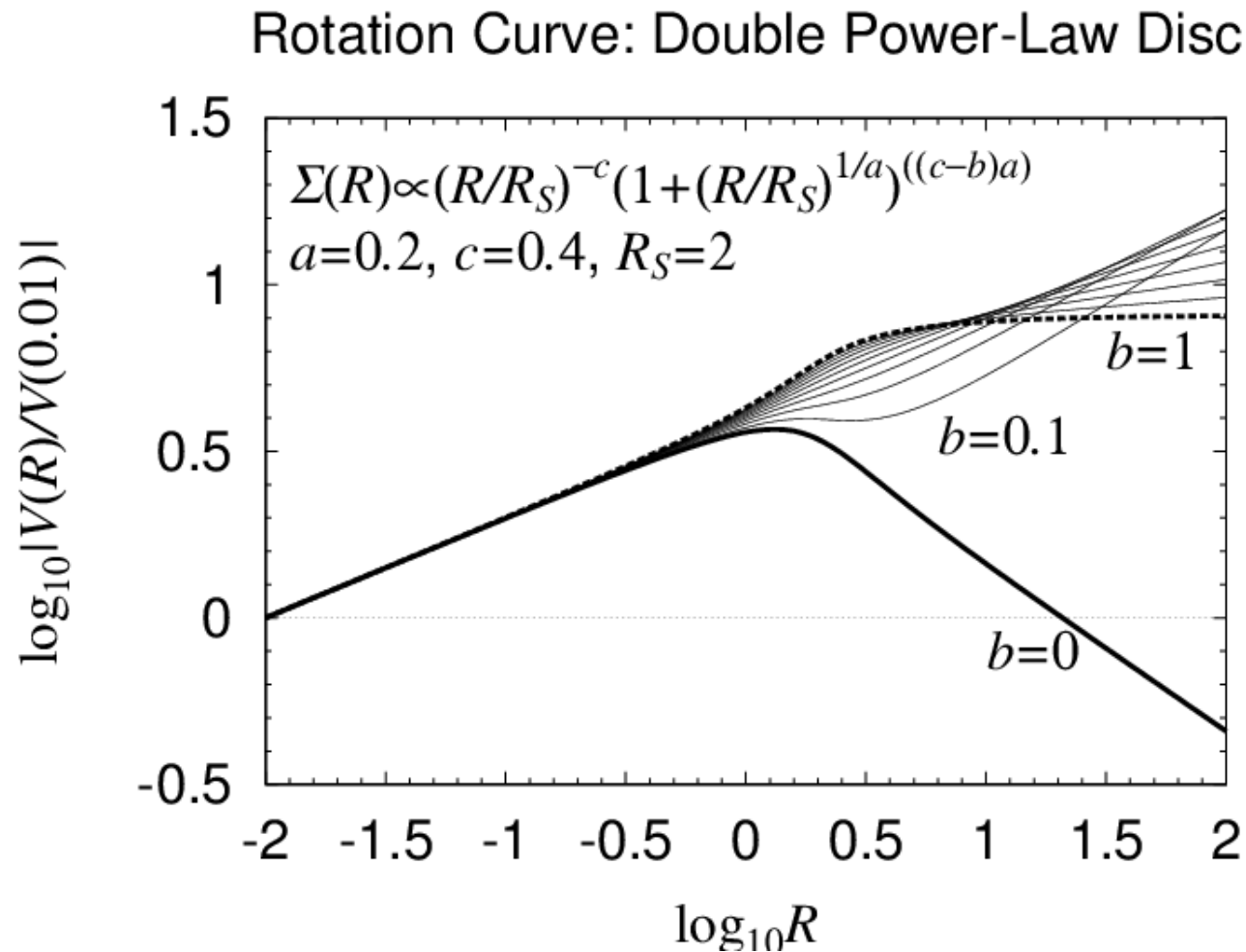
その2: 双べき乗則

- ヒント: 一般化三次元質量密度分布モデル (Zhao, 1996, MNRAS)
- 関数形
$$\Sigma(R) \equiv \Sigma_0 (R/R_S)^{-c} \left[1 + (R/R_S)^{1/a} \right]^{(c-b)a}$$
- 内側べき指数: c
- 外側べき指数: b
- 中間領域曲率: $1/a$

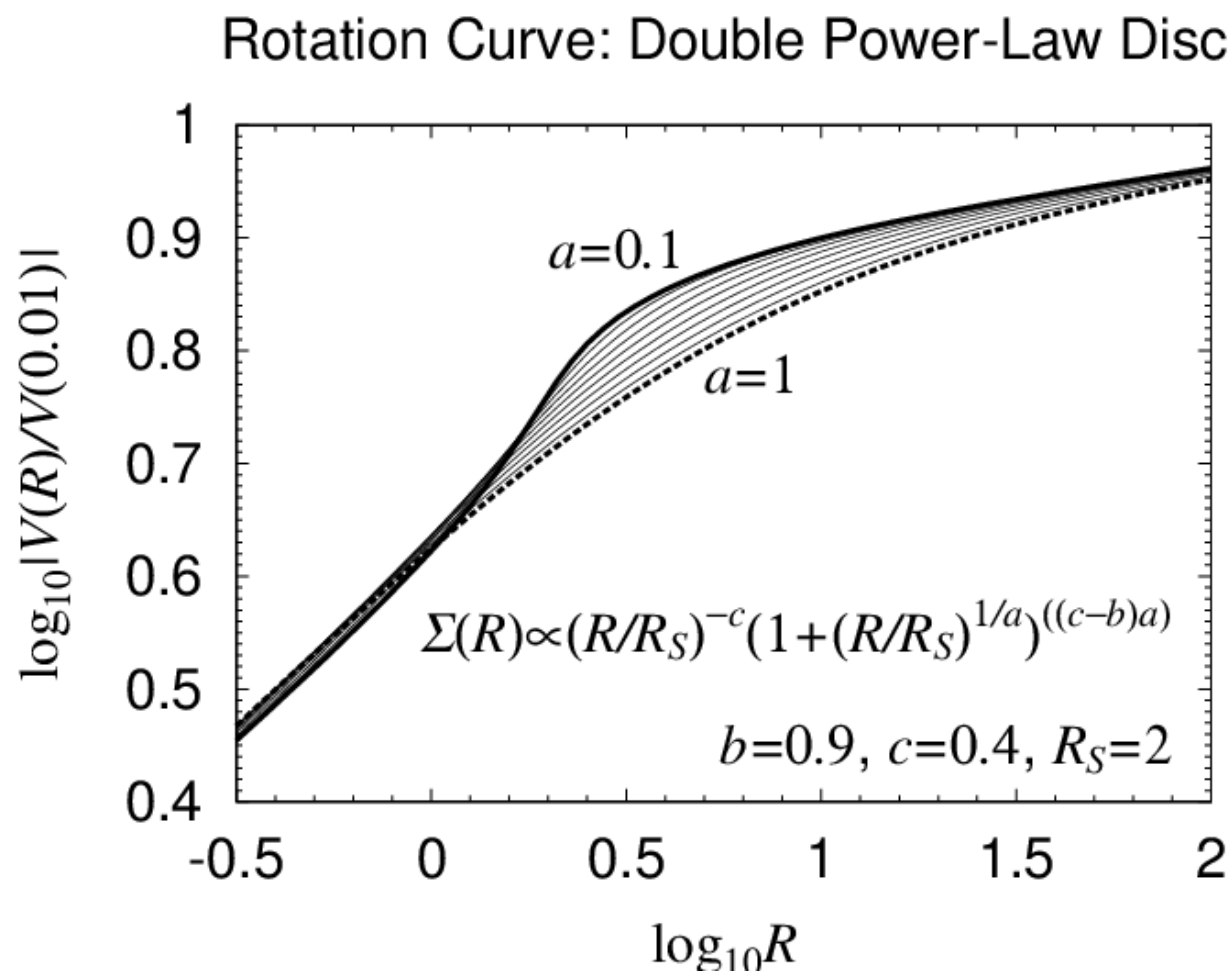
内側べき指数依存性



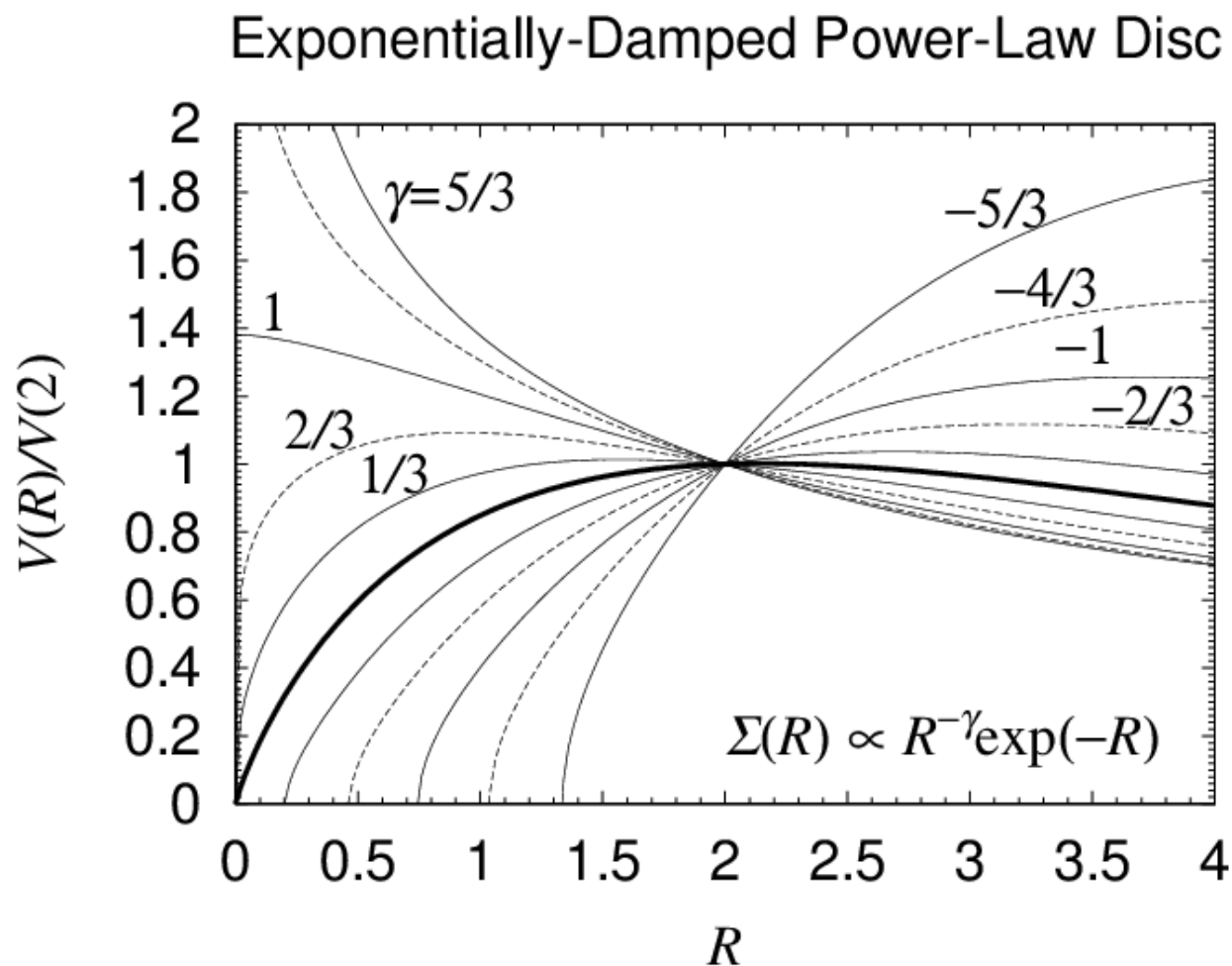
外側べき指数依存性



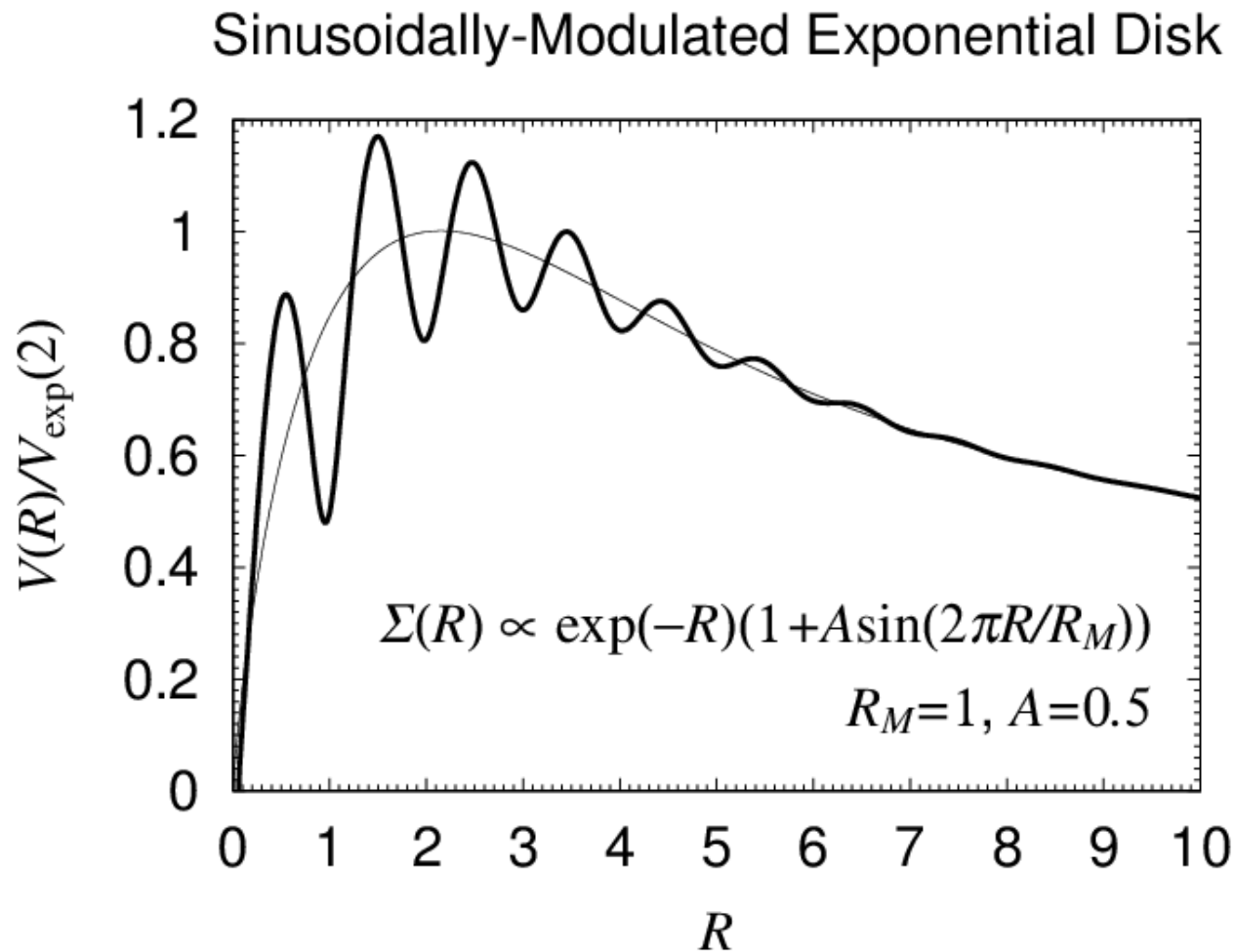
中間領域曲率依存性



その3: 指数関数的に 減少するべき乗則



その4: 減衰振動円盤



帝国の逆襲

恒星・ガスの密度分布

モデル: M33

■ 二区分モデル

■ 恒星

■ 内側

$$\Sigma(R) = \Sigma_A (R / R_A)^{-1/3} \exp(-R / R_A)$$

■ 外側

$$\Sigma(R) = \Sigma_B \exp(-R / R_B)$$

■ ガス

■ 内側

$$\Sigma(R) = \Sigma_C (R / R_C)^{-c} \left[1 + (R / R_C)^{1/a} \right]^{(c-b)a}$$

■ 外側

$$\Sigma(R) = \Sigma_D (R / R_C)^{-3}$$

■ 分離半径: R_D



パラメータの決定: M33

- 恒星円盤

- $\Sigma_A = 169 \text{ M}_{\text{sun}}\text{pc}^{-2}$, $\Sigma_B = 5 \text{ M}_{\text{sun}}\text{pc}^{-2}$
- $R_A = 2.2 \text{ kpc}$, $R_B = 6.3 \text{ kpc}$

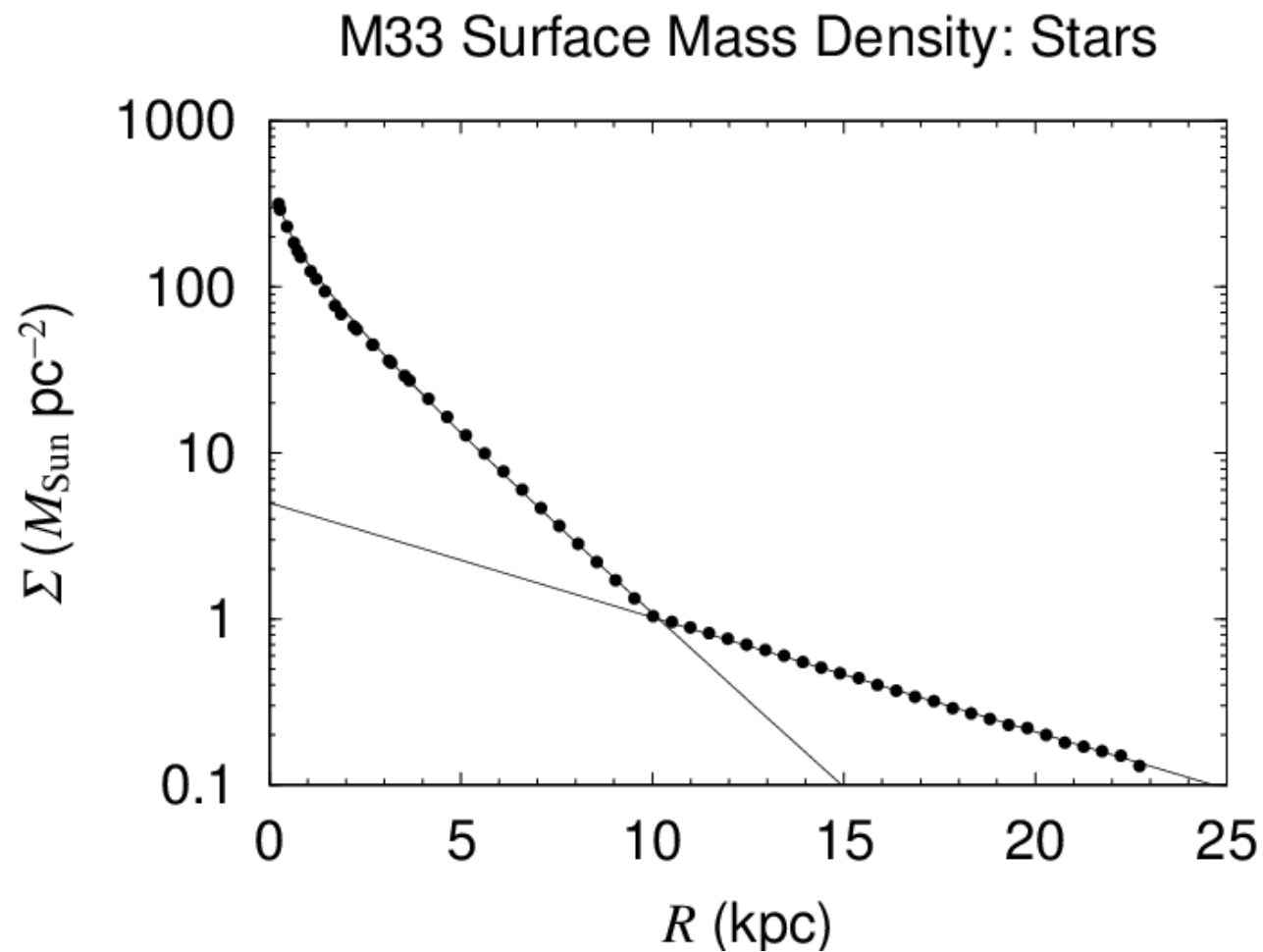
- ガス円盤

- $\Sigma_C = 6 \text{ M}_{\text{sun}}\text{pc}^{-2}$, $\Sigma_D = 2.5 \text{ M}_{\text{sun}}\text{pc}^{-2}$
- $R_C = 7.2 \text{ kpc}$
- $a = 0.05$, $b = 5.5$, $c = 0.05$

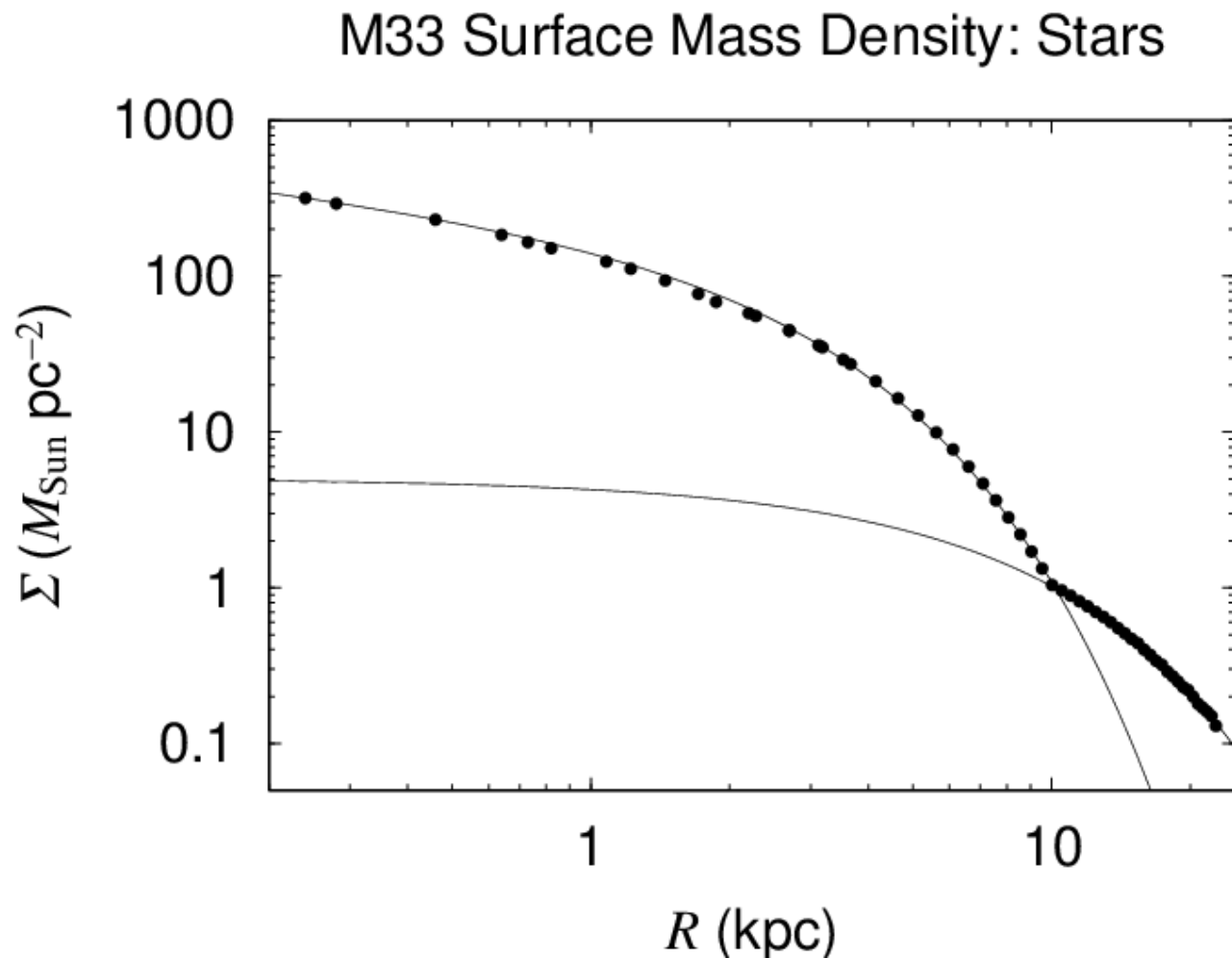
- (共通)分離半径

- $R_D = 10.18 \text{ kpc}$

恒星円盤モデル

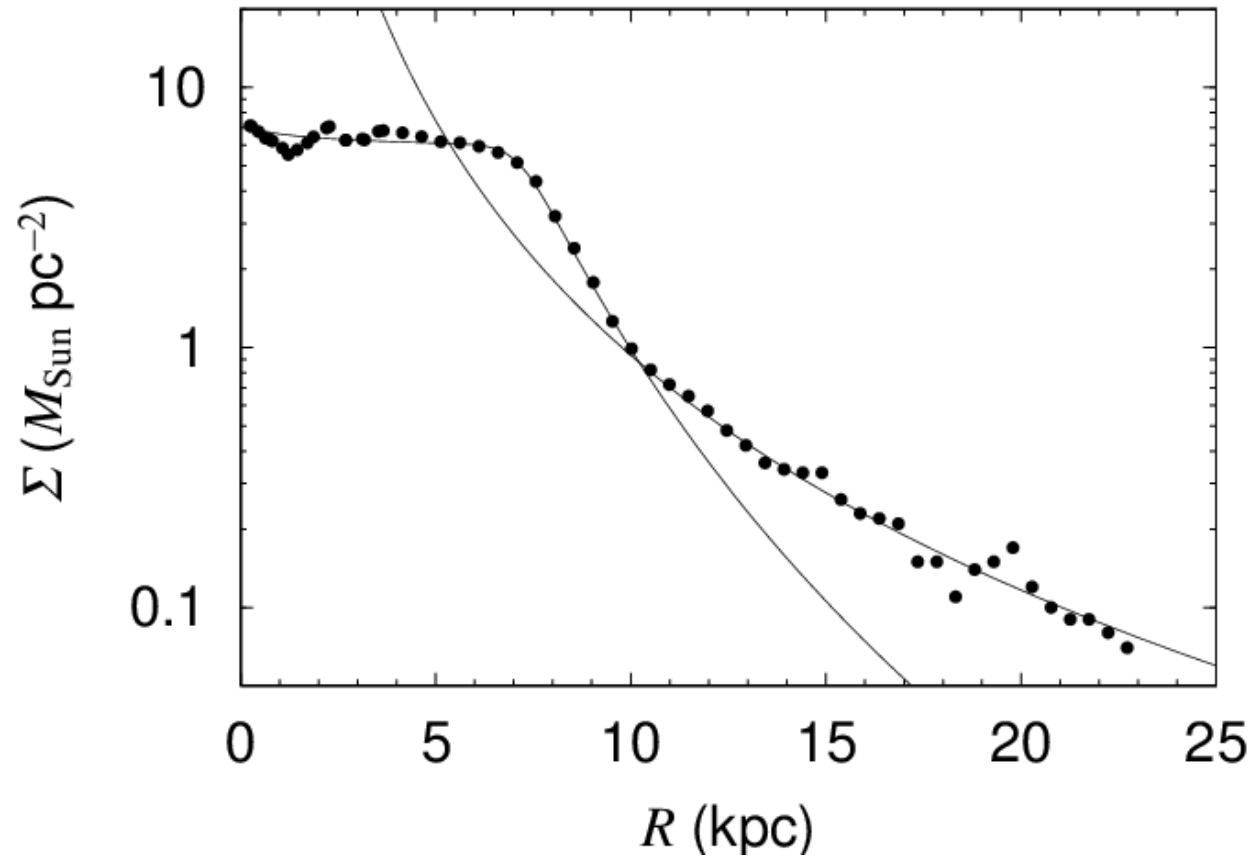


恒星円盤モデル(続)



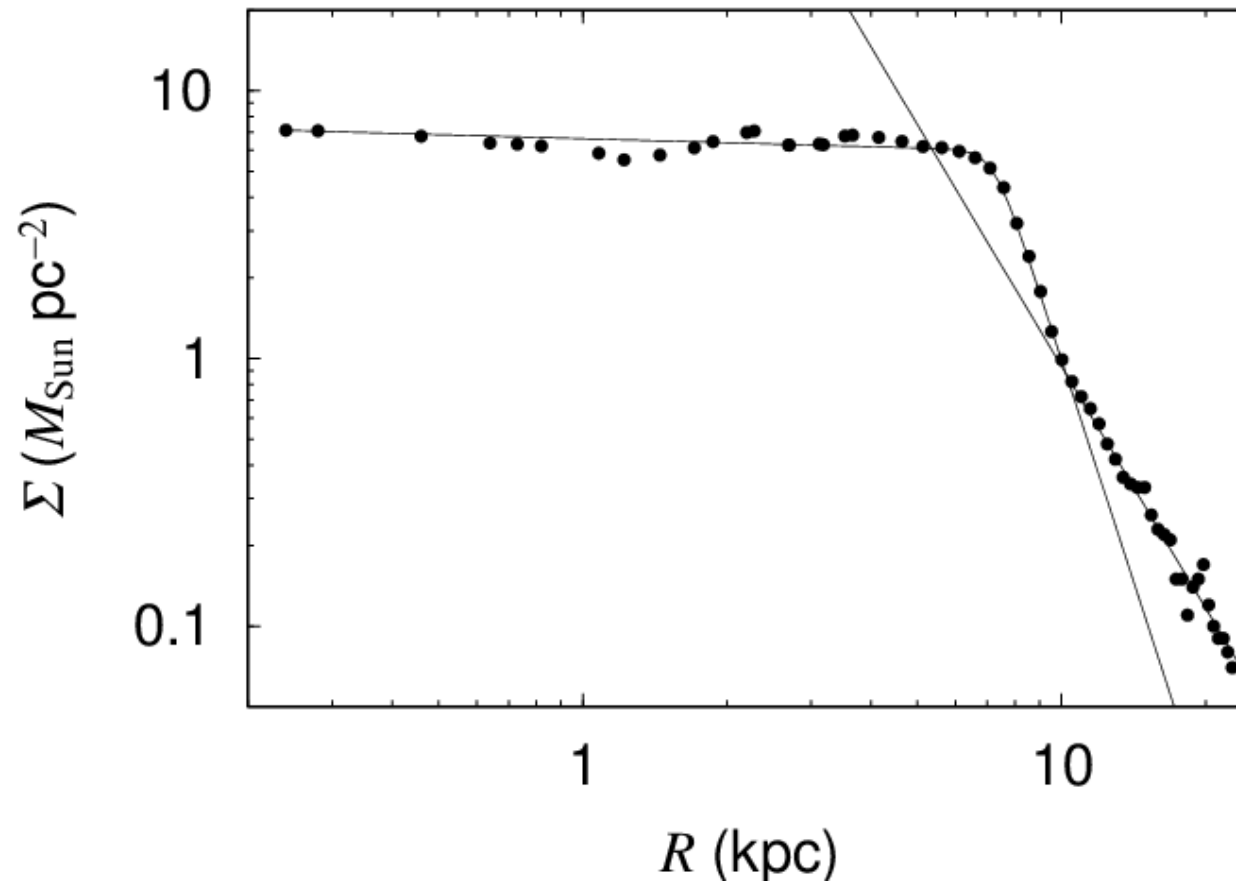
ガス円盤モデル

M33 Surface Mass Density: Gas

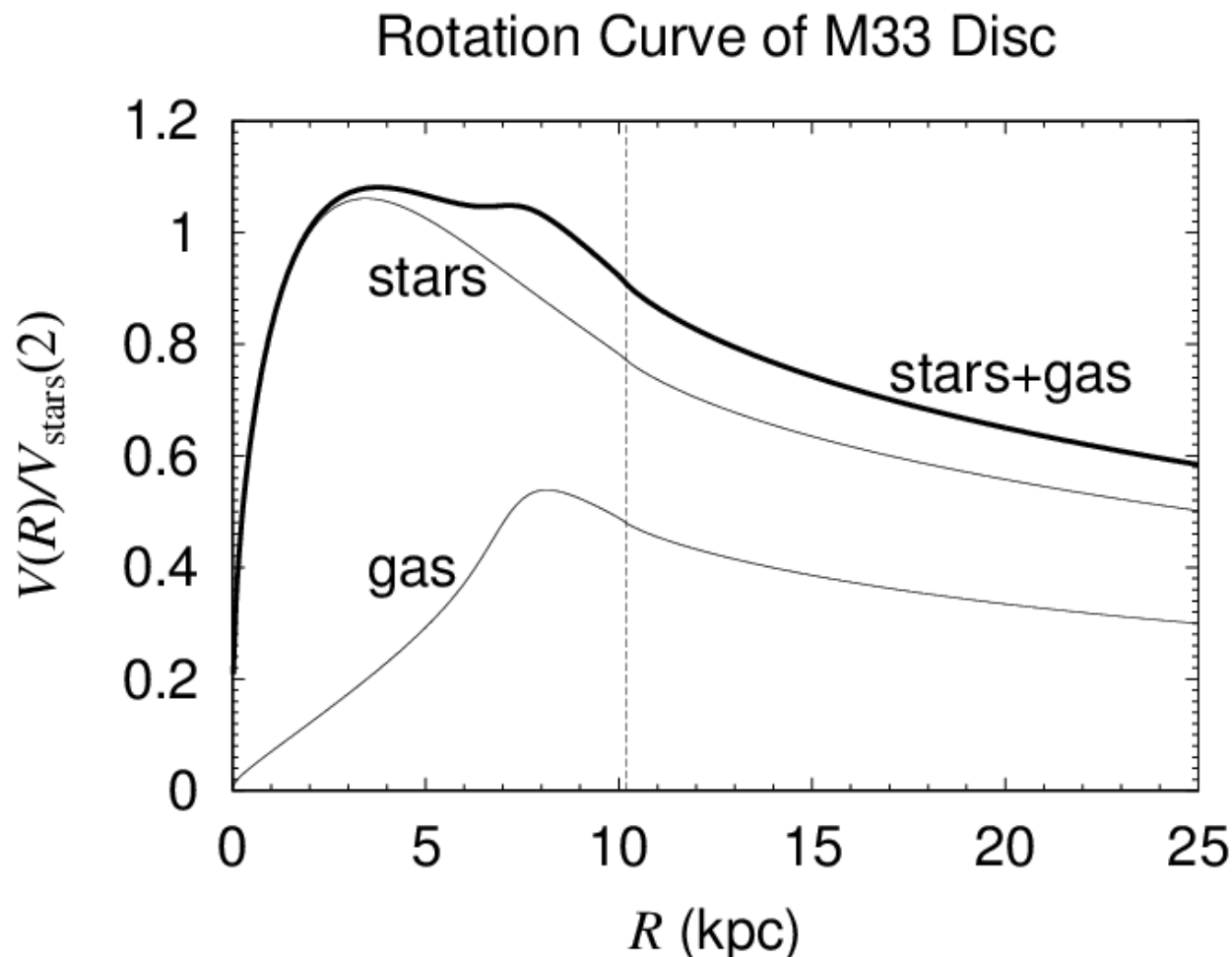


ガス円盤モデル(続)

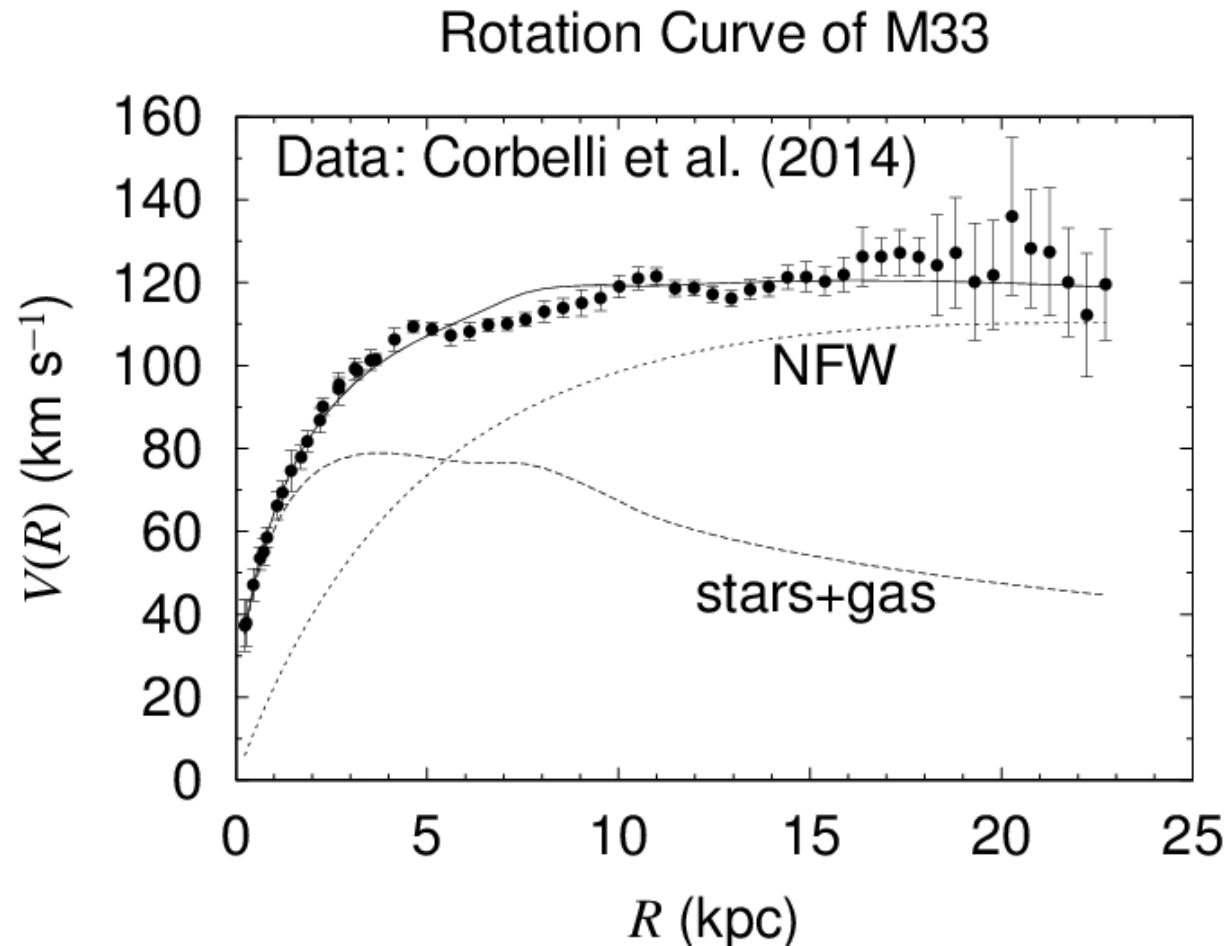
M33 Surface Mass Density: Gas



恒星・ガス円盤による 回転曲線への寄与

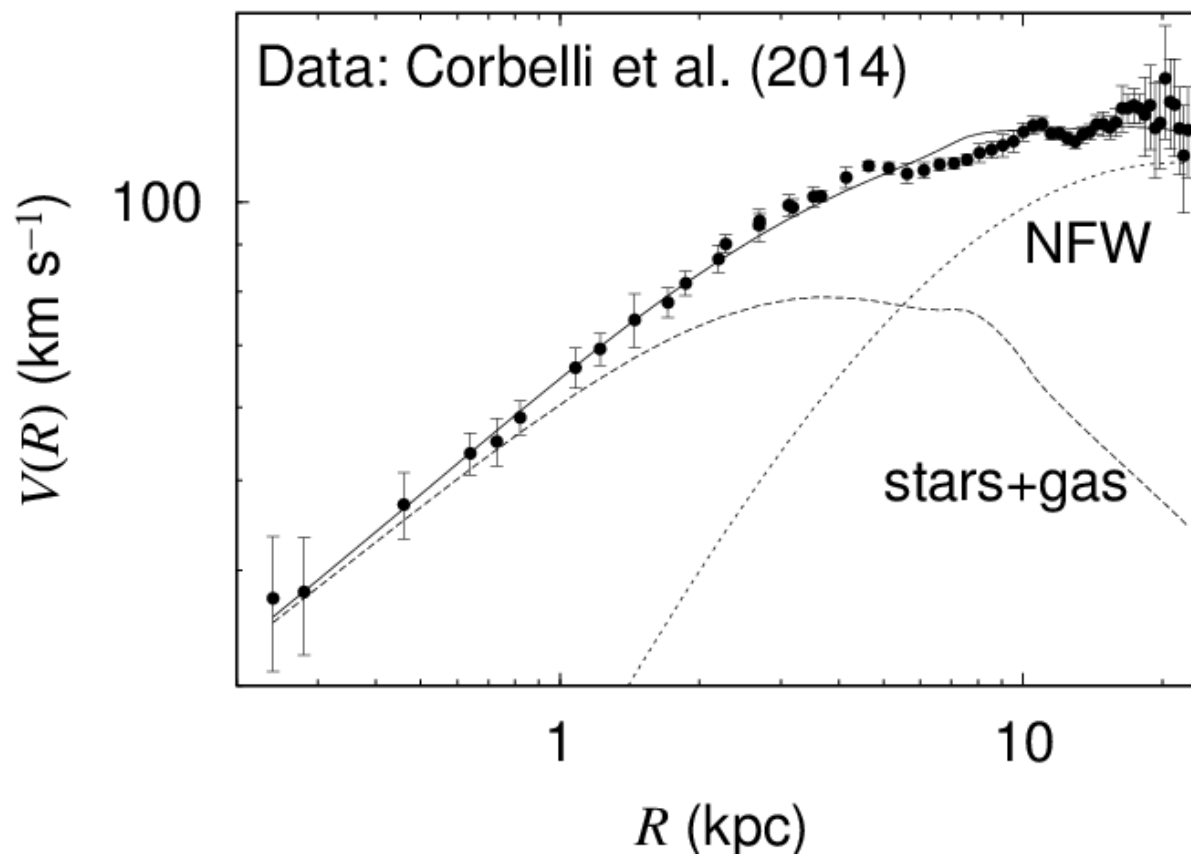


回転曲線の分解



回転曲線の分解(続)

Rotation Curve of M33



フォースの
覚醒

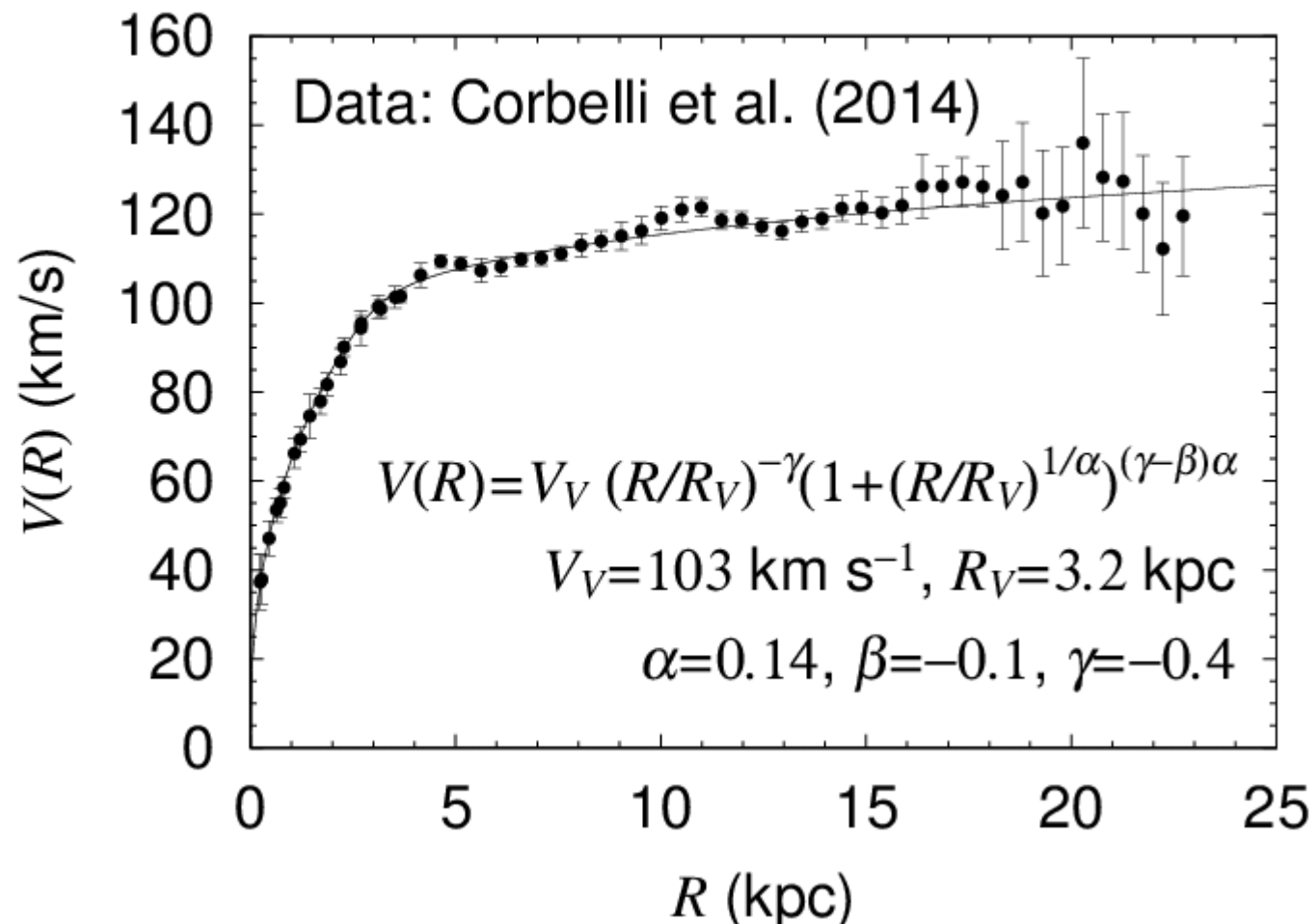
円盤状質量分布による モデルフィット

- **不満**: 分解法における不一致
 - こぶ状の差: $R = 3\text{-}8 \text{ kpc}$
- 円盤状質量分布のみ仮定
 - 未知の分布関数
- 回転曲線自体からのヒント
 - 双べき乗則

$$V(R) = V_0 (R/R_V)^{-\gamma} \left[1 + (R/R_V)^{1/\alpha} \right]^{(\gamma-\beta)\alpha}$$

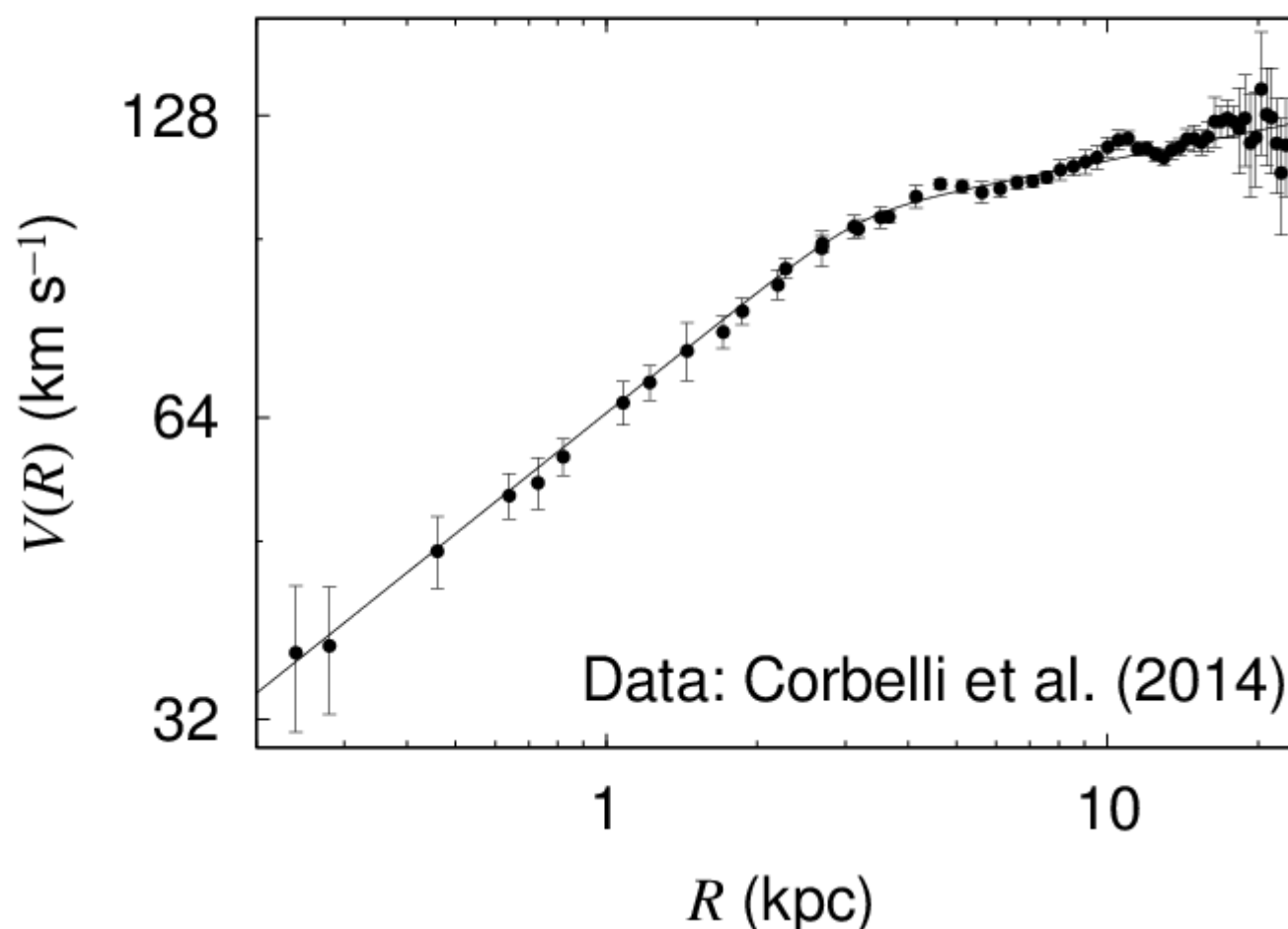
回転曲線モデル

Approximation of M33 Rotation Curve



回転曲線モデル(続)

Approximation of M33 Rotation Curve





双べき乗則質量分布

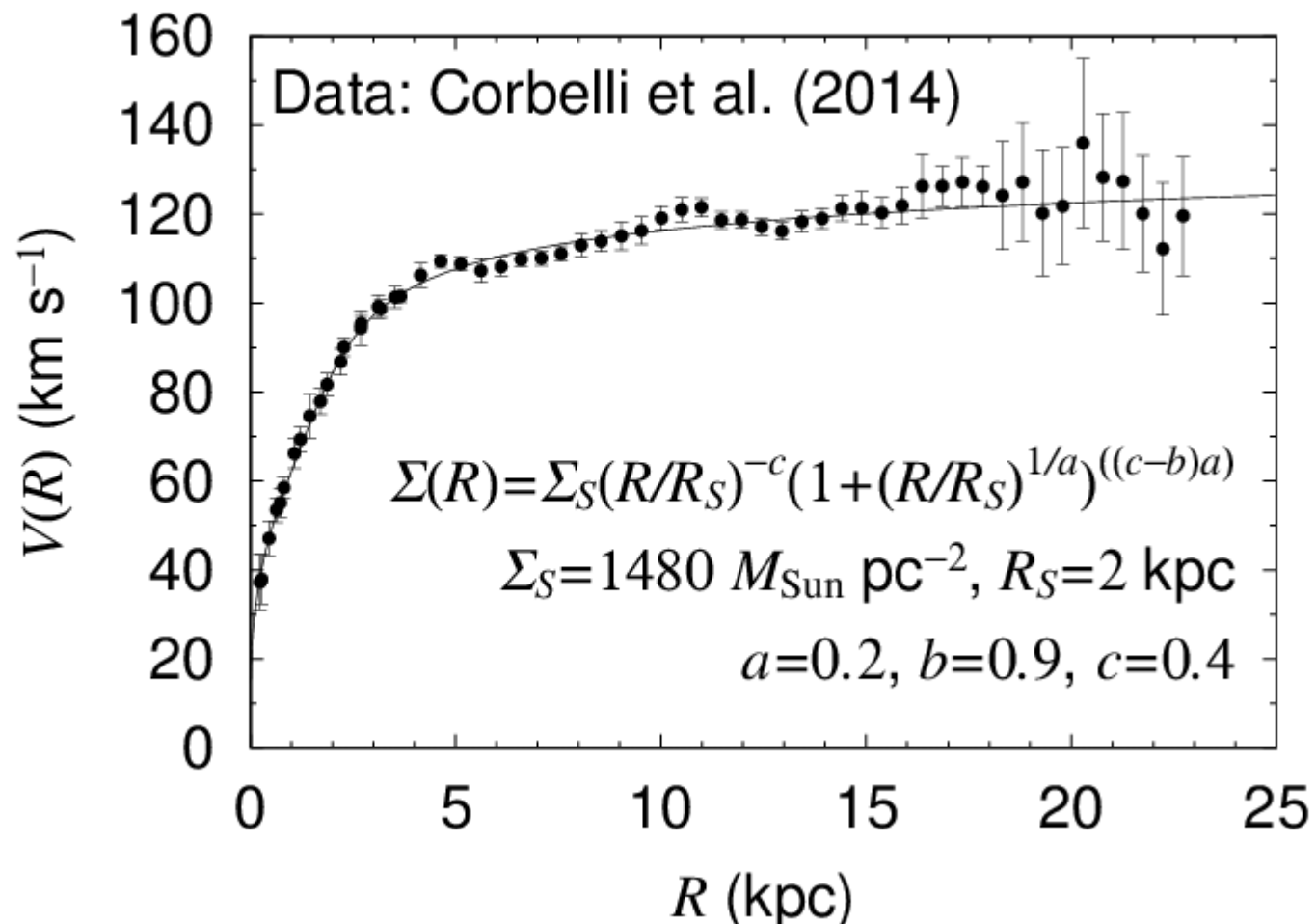
- 当然の期待
- 双べき乗則質量分布なら
双べき乗則回転曲線？

$$\Sigma(R) = \Sigma_S (R/R_S)^{-c} \left[1 + (R/R_S)^{1/a} \right]^{(c-b)a}$$

- 求められたパラメータ
 - $\Sigma_S = 1480 \text{ M}_{\text{sun}} \text{pc}^{-2}$, $R_S = 2 \text{ kpc}$
 - $a=0.2$, $b=0.9$, $c=0.4$

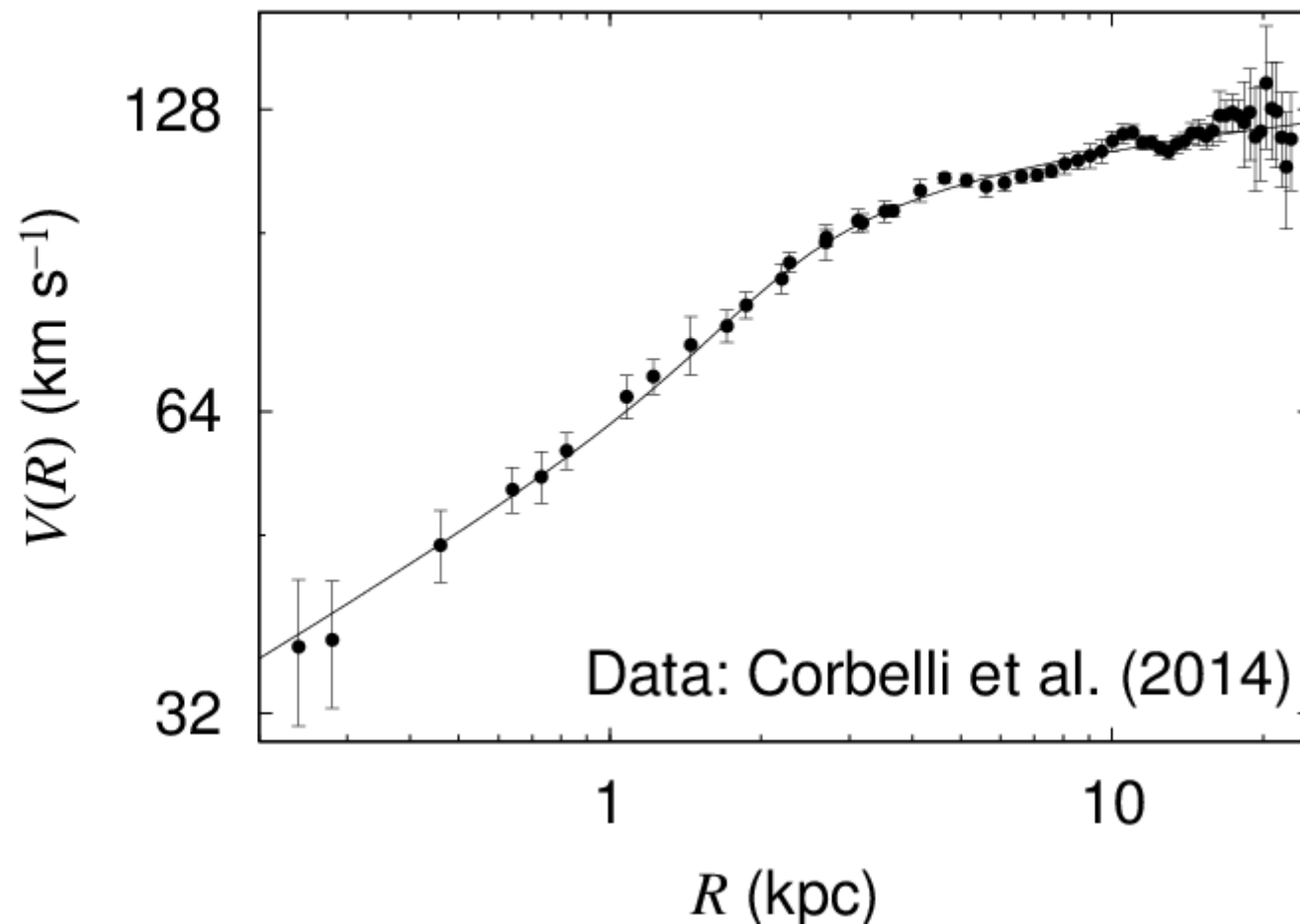
回転曲線あてはめ

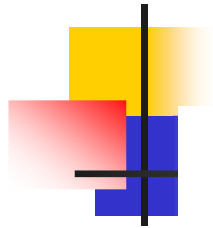
Rotation Curve of M33



回転曲線あてはめ(続)

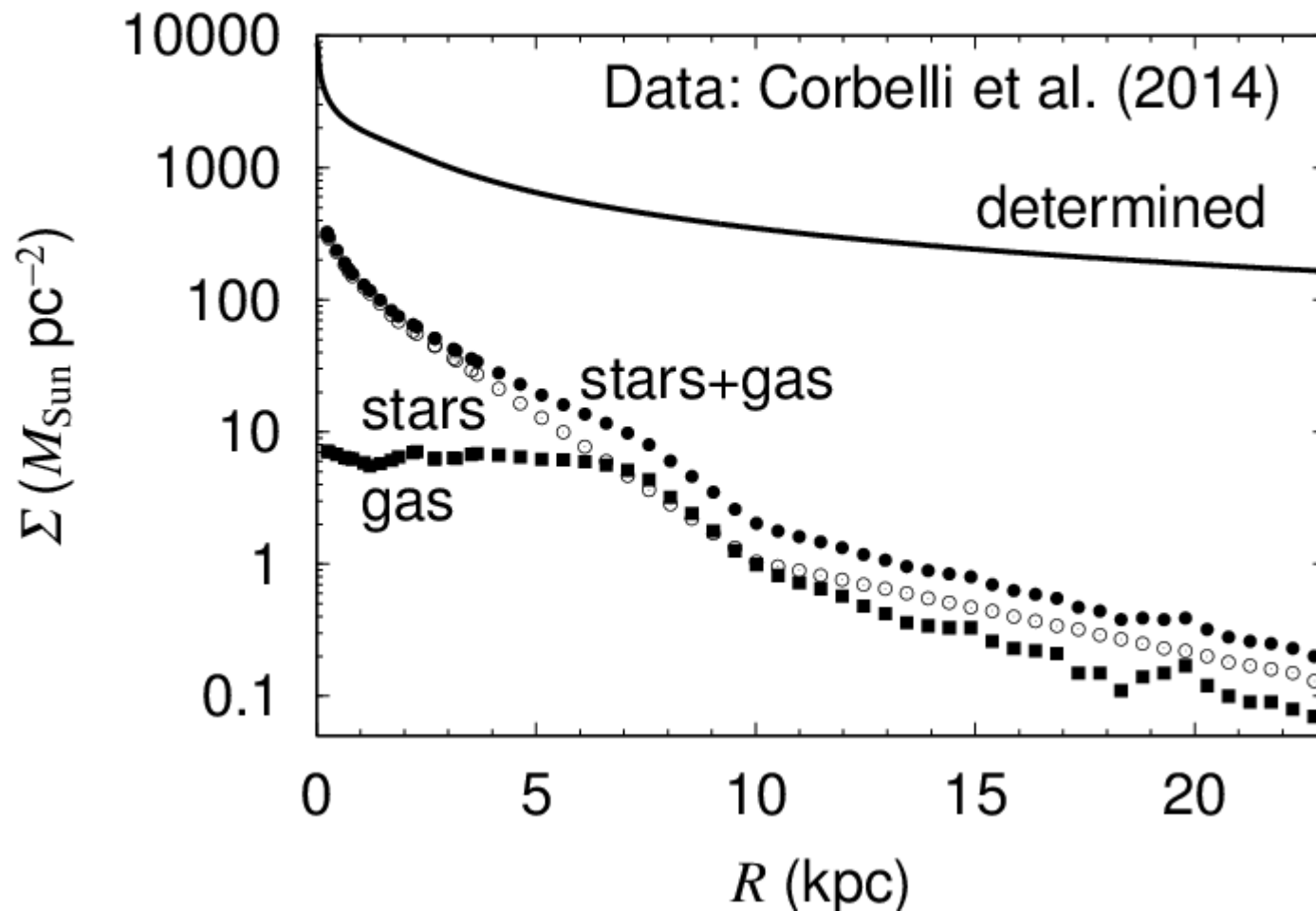
Rotation Curve of M33





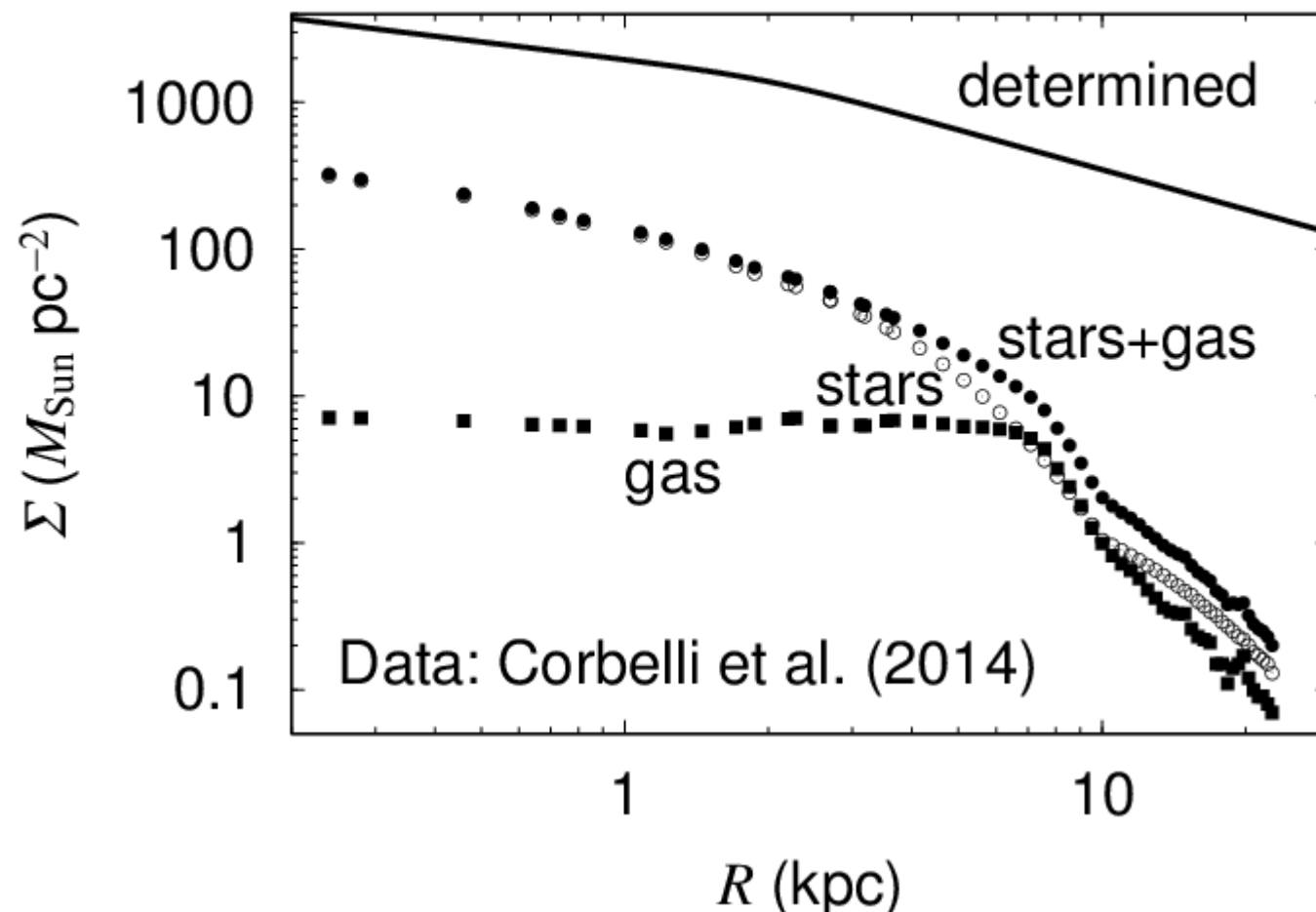
推定質量分布

Surface Mass Density: M33



推定質量分布(続)

Surface Mass Density: M33





結論

- 無限に薄い軸対称円盤の重力場計算法
- 分割積分法＋数値微分
- 高精度、高速
- さまざまな円盤の重力場の計算結果
- M33回転曲線への応用
 - 円盤状ダークマターは、球対称より良い適合



参考文献

- Corbelli et al., 2014, A&A, 572, A23
- Descarte, 1641, Meditationes de Prima Philosophia
- Durand, 1953, Electrostatique et Magnetostatique, Masson et Cie
- Freeman, 1970, ApJ, 160, 811
- Fukushima, 2010, Cele. Mech. Dyn. Astron., 108, 339
- Fukushima, 2014, Appl. Math. Comp., 238, 485
- Fukushima, 2015, J. Comp. Appl. Math., 63, 17
- Kellogg, 1929, Foundations of Potential Theory, Springer
- Navvaro, Frenk, and White, 1996, ApJ, 462, 563
- Press et al., 1992, Numerical Recipes in F77, Cambridge Univ. Press
- Sofue, 2015, PASJ, 67, 75
- Takahashi and Mori, 1973, Numer. Math., 21, 206
- Zhao, 1996, MNRAS, 278, 488

えう、
ご期待

